

168321

YILDIZ TEKNİK ÜNİVERSİTESİ
FEN BİLİMLERİ ENSTİTÜSÜ

ÇUKUROVA BÖLGESİNDÉ YETİŞEN
YERFİSTİĞİNDÁ AFLATOKSİN
MİKTAR TAYİNİ

Kimyager Eda AKEL

F.B.E. Kimya Anabilim Dalı Biyokimya Programında
Hazırlanan

YÜKSEK LİSANS TEZİ

Tez Danışmanı: Doç. Dr. İnci ARISAN ATAÇ

Doe Dr. İnci Arisan Prof. Dr. Hürriye Küru
Hüsnü Doç. Dr. Zehal Turgut
İSTANBUL, 2005

İÇİNDEKİLER

	Sayfa
SİMGE LİSTESİ.....	i
KISALTMA LİSTESİ.....	ii
ŞEKİL LİSTESİ.....	iii
ÇİZELGE LİSTESİ.....	iv
ÖNSÖZ.....	vi
ÖZET	vii
ABSTRACT	viii
1. GİRİŞ.....	1
2. YERFİSTİĞİ.....	3
2.1 Yerfistiğinin Kökeni.....	4
2.2 Yerfistiğinin Hasadı ve Kurutulması.....	4
2.3 Yerfistiği ve Aflatoksin Sorunu.....	4
3. ASPERGİLLUS TÜRÜ KÜF MANTARLARI.....	6
3.1 Aspergillus Flavus.....	7
3.2 Aspergillus Parasiticus.....	8
4. MİKOTOKSİNLER.....	9
4.1 Toksikoloji ve İnsan Sağlığı.....	10
4.2 Milotoksinlerin Bir Türü Olarak Aflatoksinler.....	10
5. MATERYALLER.....	17
5.1 Kullanılan Cihaz ve Malzemeler.....	17
5.2 Kullanılan HPLC Sisteminin Teçhizat ve Çalıştırma Parametreleri.....	18
5.3 Kullanılan Kimyasallar.....	18
5.4 Kullanılan Referans Standartlar.....	19
5.4.1 Aflatoksin G ₂ Referans Standardı.....	19
5.4.2 Aflatoksin G ₁ Referans Standardı.....	19
5.4.3 Aflatoksin B ₂ Referans Standardı.....	20
5.4.4 Aflatoksin B ₁ Referans Standardı.....	20

6.	DENEYSEL ÇALIŞMA.....	21
6.1	Genel Prensip.....	21
6.2	Çalışma Ortamı.....	21
6.3	Mobil Fazın Hazırlanması.....	21
6.4	Kullanılan Çözeltilerin Hazırlanması.....	21
6.4.1	Fosfat Tamponlu Tuz Çözeltisi (pH = 7.4).....	21
6.4.2	Nitrik Asit Çözeltisi (4 mol/L).....	22
6.4.3	Ekstraksiyon Çözeltisi.....	22
6.4.4	Seyreltme Çözeltisi (Metanol-Su Karışımı).....	22
6.4.5	Aflatoksin G ₂ -G ₁ -B ₂ -B ₁ Referans Standart Çözeltilerinin Hazırlanması.....	22
6.4.5.1	Aflatoksin G ₂ -G ₁ -B ₂ -B ₁ Referans Standartlarının Stok Çözeltileri.....	22
6.4.5.2	Aflatoksin G ₂ -G ₁ -B ₂ -B ₁ Referans Standartlarının 1.Mix Ara Stok Çözeltisi (150 µg/L).....	22
6.4.5.3	Aflatoksin G ₂ -G ₁ -B ₂ -B ₁ Referans Standartlarının 2.Mix Ara Stok Çözeltisi (75 µg/L).....	22
6.4.5.4	Aflatoksin G ₂ -G ₁ -B ₂ -B ₁ Referans Standartlarının 3.Mix Ara Stok Çözeltisi (60 µg/L).....	23
6.4.5.5	Aflatoksin G ₂ -G ₁ -B ₂ -B ₁ Referans Standartlarının 4.Mix Ara Stok Çözeltisi (6 µg/L).....	23
6.4.6	Aflatoksin G ₂ -G ₁ -B ₂ -B ₁ Mix Referans Çalışma Çözeltilerinin Hazırlanması (0.36 µg/L, 0.72 µg/L, 1.2 µg/L, 1.5 µg/L, 2.4 µg/L ve 3.6 µg/L).....	23
6.4.6.1	1.2 µg/L Konsantrasyonundaki Aflatoksin G ₂ -G ₁ -B ₂ -B ₁ Mix Referans Çalışma Çözeltisinin Hazırlanması.....	23
6.4.6.2	1.5 µg/L Konsantrasyonundaki Aflatoksin G ₂ -G ₁ -B ₂ -B ₁ Mix Referans Çalışma Çözeltisinin Hazırlanması.....	23
6.4.6.3	2.4 µg/L Konsantrasyonundaki Aflatoksin G ₂ -G ₁ -B ₂ -B ₁ Mix Referans Çalışma Çözeltisinin Hazırlanması.....	23
6.4.6.4	3.6 µg/L Konsantrasyonundaki Aflatoksin G ₂ -G ₁ -B ₂ -B ₁ Mix Referans Çalışma Çözeltisinin Hazırlanması.....	24
6.4.6.5	0.36 µg/L Konsantrasyonundaki Aflatoksin G ₂ -G ₁ -B ₂ -B ₁ Mix Referans Çalışma Çözeltisinin Hazırlanması.....	24
6.4.6.6	0.72 µg/L Konsantrasyonundaki Aflatoksin G ₂ -G ₁ -B ₂ -B ₁ Mix Referans Çalışma Çözeltisinin Hazırlanması.....	24
6.4.7	Yerfistığı Örnek Çözeltisinin Hazırlanması.....	24
6.5	İmmünoaffinite Kolonlarının Hazırlanması-Şartlanması.....	24
6.6	Örnek Ekstraktının Temizlenmesi ve Aflatoksin Elusyonu.....	25
6.6.1	Örnek Ekstraktının Temizlenmesi.....	25
6.6.2	Aflatoksinlerin Elusyonu.....	25
6.7	Yapılan Validasyon Çalışmalarının Kapsamı.....	25

6.7.1	Seçicilik Çalışmaları (Selectivity – Specificity).....	25
6.7.1.1	İmmünoaffinite Kolonu Kullanımının Piklerin Çıkış Zamanları Üzerine Etkisinin İncelenmesi.....	25
6.7.1.2	Matriksten (yerfistiği), Enjeksiyon Solventinden ve Mobil Fazdan Gelen İnterferansların Değerlendirilmesi.....	26
6.7.1.2.1	Matriksten (yerfistiği) Gelen İnterferansların Değerlendirilmesi.....	26
6.7.1.2.2	Enjeksiyon Solventinden Gelen İnterferansların Değerlendirilmesi.....	26
6.7.1.2.3	Mobil Fazdan Gelen İnterferansların Değerlendirilmesi.....	26
6.7.2	Doğruluk ve Geri Kazanım Çalışmaları (Accuracy and Recovery).....	26
6.7.2.1	%50'lik Konsantrasyon Değerinde (2.4 µg/L) Aflatoksin G ₂ -G ₁ -B ₂ -B ₁ İçerecek Örneklerin Hazırlanması.....	27
6.7.2.2	%100'lük Konsantrasyon Değerinde (4.8 µg/L) Aflatoksin G ₂ -G ₁ -B ₂ -B ₁ İçerecek Örneklerin Hazırlanması.....	27
6.7.2.3	%150'lik Konsantrasyon Değerinde (7.2 µg/L) Aflatoksin G ₂ -G ₁ -B ₂ -B ₁ İçerecek Örneklerin Hazırlanması.....	27
6.7.3	Kesinlik (Precision).....	28
6.7.3.1	Metod Tekrarlanabilirliği.....	28
6.7.3.2	Cihaz Tekrarlanabilirliği	28
6.7.4	Sistem Uygunluk Çalışmaları (System Suitability Studies).....	28
6.7.5	Tayin Limiti Çalışmaları (LoD).....	29
6.7.6	Ölçüm Limiti Çalışmaları (LoQ).....	29
6.7.7	Doğrusallık ve Aralık Çalışmaları.....	29
6.7.8	Stabilite Çalışmaları.....	29
7.	SONUÇLAR.....	31
7.1	Seçicilik Çalışmaları (Selectivity – Specificity).....	31
7.1.1	İmmünoaffinite Kolonu Kullanımının Piklerin Çıkış Zamanları Üzerine Etkisinin İncelenmesi.....	31
7.1.2	Matriksten (yerfistiği), Enjeksiyon Solventinden ve Mobil Fazdan Gelen İnterferansların Değerlendirilmesi.....	31
7.1.2.1	Matriksten (yerfisteği) Gelen İnterferansların Değerlendirilmesi	31
7.1.2.2	Enjeksiyon Solventinden Gelen İnterferansların Değerlendirilmesi	32
7.1.2.3	Mobil Fazdan Gelen İnterferansların Değerlendirilmesi.....	32
7.2	Doğruluk ve Geri Kazanım Çalışmaları (Accuracy and Recovery).....	32
7.2.1	%50'lik Konsantrasyon Değerinde (2.4 µg/L) Aflatoksin G ₂ -G ₁ -B ₂ -B ₁ İçeren Örneklerle Yapılan Çalışmalar.....	32
7.2.2	%100'lük Konsantrasyon Değerinde (4.8 µg/L) Aflatoksin G ₂ -G ₁ -B ₂ -B ₁ İçeren Örneklerle Yapılan Çalışmalar.....	33

7.2.3	%150'lik Konsantrasyon Değerinde (7.2 µg/L) Aflatoksin G ₂ -G ₁ -B ₂ -B ₁ İçeren Örneklerle Yapılan Çalışmalar.....	34
7.3	Kesinlik (Precision).....	35
7.4	Sistem Uygunluk Çalışmaları (System Suitability Studies).....	37
7.5	Tayin Limiti Çalışmaları (LoD).....	41
7.6	Ölçüm Limiti Çalışmaları (LoQ).....	41
7.7	Doğrusallık ve Aralık Çalışmaları.....	41
7.8	Stabilite Çalışmaları.....	49
8.	TARTIŞMA.....	57
	KAYNAKLAR.....	59
	ÖZGEÇMİŞ.....	64

SİMGE LİSTESİ

°C	Santigrat derece
Ca	Kalsiyum
CH ₃ CN	Asetonitril
CH ₃ OH	Metanol
cm	Santimetre
d	Çap
g	Gram
HNO ₃	Nitrik asit
K	Potasium
KBr	Potasium bromür
KCl	Potasium klorür
KH ₂ PO ₄	Potasium dihidrojen fosfat
kg	Kilogram
L	Litre
M	Molar
mg	Miligram
Mg	Magnezyum
mL	Mililitre
mm	Milimetre
N	Azot
NaCl	Sodyum klorür
Na ₂ HPO ₄	Disodyum hidrojen fosfat
P	Potasium
S	Kükürt
μ	Mikro
μg	Mikrogram
μL	Mikrolitre

KISALTMA LİSTESİ

AB	Avrupa Birliği
ABD	Amerika Birleşik Devletleri
dak	Dakika
DNA	Deoksiribo nükleik asit
Dr	Doktor
GC	Guanin-Sitozin
TA	Timin-Adenin
Ha	Hektar
LoD	Saptama Limiti
LoQ	Hesaplama Limiti
UV	Ultraviyole

ŞEKİL LİSTESİ

Şekil 2.1	A. flavus'un yerfistiği taneleri üzerinde gelişimi.....	5
Şekil 3.1	Elektron mikroskobu altında Aspergillus flavus'un görünüşü.....	7
Şekil 3.2	Aspergillus flavus'un görünüşü.....	7
Şekil 3.3	Elektron mikroskobu altında Aspergillus parasiticus'un görünüşü.....	8
Şekil 3.4	Aspergillus parasiticus'un görünüşü.....	8
Şekil 4.1	UV ışık altında aflatoksin B ₁	11
Şekil 4.2	Aflatoksin B ₁ 'in kimyasal yapısı.....	11
Şekil 4.3	Aflatoksin B ₂ 'nin kimyasal yapısı.....	11
Şekil 4.4	Aflatoksin G ₁ 'in kimyasal yapısı.....	12
Şekil 4.5	Aflatoksin G ₂ 'nin kimyasal yapısı.....	12
Şekil 4.6	Aflatoksin-N ⁷ guanin'in ve aflatoksin M ₁ 'in sentez şeması.....	14
Şekil 7.1	Aflatoksin G ₂ 'ye ait doğrusallık grafiği.....	42
Şekil 7.2	Aflatoksin G ₁ 'e ait doğrusallık grafiği.....	43
Şekil 7.3	Aflatoksin B ₂ 'ye ait doğrusallık grafiği.....	44
Şekil 7.4	Aflatoksin B ₁ 'e ait doğrusallık grafiği.....	45

ÇİZELGE LİSTESİ

Çizelge 5.1	Kullanılan kimyasal maddeler.....	18
Çizelge 7.1	İmmünoaffinite kolonunun aflatoksin G ₂ -G ₁ -B ₂ -B ₁ piklerinin çıkış zamanlarına etkisi.....	31
Çizelge 7.2	2.4 µg/L aflatoksin G ₂ -G ₁ -B ₂ -B ₁ içecek şekilde ilk gün hazırlanan iki paralel örneğe ait sonuçlar.....	32
Çizelge 7.3	2.4 µg/L aflatoksin G ₂ -G ₁ -B ₂ -B ₁ içecek şekilde ikinci gün hazırlanan iki paralel örneğe ait sonuçlar.....	33
Çizelge 7.4	4.8 µg/L aflatoksin G ₂ -G ₁ -B ₂ -B ₁ içecek şekilde ilk gün hazırlanan iki paralel örneğe ait sonuçlar.....	33
Çizelge 7.5	4.8 µg/L aflatoksin G ₂ -G ₁ -B ₂ -B ₁ içecek şekilde ikinci gün hazırlanan iki paralel örneğe ait sonuçlar.....	34
Çizelge 7.6	7.2 µg/L aflatoksin G ₂ -G ₁ -B ₂ -B ₁ içecek şekilde ilk gün hazırlanan iki paralel örneğe ait sonuçlar.....	34
Çizelge 7.7	7.2 µg/L aflatoksin G ₂ -G ₁ -B ₂ -B ₁ içeren iki paralel örneğin ikinci gün yapılan çalışmalarına ait sonuçlar.....	35
Çizelge 7.8	Birinci ve ikinci gün yapılan çalışmalarдан elde edilen sonuçların ortalaması.....	35
Çizelge 7.9	Aflatoksin G ₂ -G ₁ -B ₂ -B ₁ piklerinin çıkış zamanları.....	36
Çizelge 7.10	Aflatoksin G ₂ -G ₁ -B ₂ -B ₁ piklerinin alanları.....	36
Çizelge 7.11	Aflatoksin G ₂ pikinin alikonma zamanı, alanı, yüksekliği ve bulunan kapasite faktörü, rezolüsyon ve de teorik plaka sayısı.....	37
Çizelge 7.12	Aflatoksin G ₁ pikinin alikonma zamanı, alanı, yüksekliği ve bulunan kapasite faktörü, rezolüsyon ve de teorik plaka sayısı.....	38
Çizelge 7.13	Aflatoksin B ₂ pikinin alikonma zamanı, alanı, yüksekliği ve bulunan kapasite faktörü, rezolüsyon ve de teorik plaka sayısı.....	39
Çizelge 7.14	Aflatoksin B ₁ pikinin alikonma zamanı, alanı, yüksekliği ve bulunan kapasite faktörü, rezolüsyon ve de teorik plaka sayısı.....	40
Çizelge 7.15	Yer fistığında aflatoksin G ₂ -G ₁ -B ₂ -B ₁ için tayin limitleri.....	41
Çizelge 7.16	Yer fistığında aflatoksin G ₂ -G ₁ -B ₂ -B ₁ için ölçüm limitleri.....	41
Çizelge 7.17	Aflatoksin G ₂ piki için elde edilen alan değerleri.....	42
Çizelge 7.18	Aflatoksin G ₁ piki için elde edilen alan değerleri.....	43
Çizelge 7.19	Aflatoksin B ₂ piki için elde edilen alan değerleri.....	44
Çizelge 7.20	Aflatoksin B ₁ piki için elde edilen alan değerleri.....	45
Çizelge 7.21	Renksiz vialler içerisinde, fluoresans lamba ile aydınlatılan laboratuvar ortamında yapılan stabilite çalışmasında aflatoksin (G ₂ -G ₁ -B ₂ -B ₁) piklerinin çıkış zamanları.....	46
Çizelge 7.22	Renksiz vialler içerisinde, fluoresans lamba ile aydınlatılan laboratuvar ortamında yapılan stabilite çalışması sırasında elde edilen aflatoksin (G ₂ -G ₁ -B ₂ -B ₁) miktarları.....	47

Çizelge 7.23	Amber renkli vialler içerisinde, fluoresans lamba ile aydınlatılan laboratuar ortamında yapılan stabilite çalışmasında aflatoksin ($G_2-G_1-B_2-B_1$) piklerinin çıkış zamanları.....	48
Çizelge 7.24	Amber renkli vialler içerisinde, fluoresans lamba ile aydınlatılan laboratuar ortamında yapılan stabilite çalışması sırasında elde edilen aflatoksin ($G_2-G_1-B_2-B_1$) miktarları.....	49
Çizelge 7.25	Renksiz vialler içerisinde, buzdolabında bekletilerek gerçekleştirilen stabilite çalışmasında aflatoksin ($G_2-G_1-B_2-B_1$) piklerinin çıkış zamanları.....	50
Çizelge 7.26	Renksiz vialler içerisinde, buzdolabında bekletilerek gerçekleştirilen stabilite çalışması sırasında elde edilen aflatoksin ($G_2-G_1-B_2-B_1$) miktarları.....	51
Çizelge 7.27	Amber renkli vialler içerisinde, buzdolabında bekletilerek gerçekleştirilen stabilite çalışmasında aflatoksin ($G_2-G_1-B_2-B_1$) piklerinin çıkış zamanları.....	52
Çizelge 7.28	Amber renkli vialler içerisinde, buzdolabında bekletilerek gerçekleştirilen stabilite çalışması sırasında elde edilen aflatoksin ($G_2-G_1-B_2-B_1$) miktarları.....	53

ÖNSÖZ

Yüksek Lisans çalışmam sırasında çalışmamı yönlendiren, değerlendiren ve her konuda bana çözümler üreterek desteğini benden esirgemeyen sevgili Hocam Doç. Dr. İnci Arısan Ataç'a sonsuz saygı ve şükranlarımı sunarım.

Yüksek Lisans çalışmamı yürüttüğüm Çevre Endüstriyel Analiz Laboratuari'na ve de laboratuarda bana verdikleri destekten dolayı iş arkadaşları Selen Özel ve Didem Özdemir'e teşekkürlerimi sunarım.

Ayrıca her zaman maddi, manevi desteğini benden esirgemeyen anne ve babama sonsuz sevgi ve teşekkürlerimi sunarım.

ÖZET

Küflerin sekonder metabolitleri olan mikotoksinler insanlarda ve de hayvanlarda hastalıklara ve ölüme neden olabilirler. Bazı mikotoksinler veya bunların türevleri farmakolojik aktiviteleri nedeniyle antibiyotik olarak kullanılırken bazıları ise kimyasal savaş ajanları olarak kullanılmaktadır. Bu çalışmada mikotoksinlerin önemli bir türü olan aflatoksinlerin üzerinde duruldu.

Aflatoksinlerin neden oldukları hastalıklar genel olarak aflatoksikozis olarak adlandırılırlar. Akut aflatoksikozis hemen ölümle sonuçlanırken; kronik aflatoksikozis kansere, bağışıklık sisteminin baskılanmasına ve başka “yavaş” gelişen patolojik durumların ortayamasına neden olmaktadır.

Aflatoksinlerin keşfi ile bu toksinlerin gıdalardaki konsantrasyonlarının tespiti için çeşitli metodlar geliştirilmiştir, ancak aflatoksinler dünyadaki bütün gıdalar için bir problem oluşturmaktadır. Bu nedenden dolayı aflatoksinlerin kimyasal tespiti standartize edilmiştir.

Bu çalışmada standartize metodlardan biri kullanıldı ve mevcut laboratuar şartlarında, yerfistiği örnekleri kullanılarak metodun doğrulaması yapıldı. Ayrıca metodun güvenilir sonuçlar verdiği ispatlandı.

Anahtar Kelimeler: Mikotoksin, aflatoksin, yerfistiği, doğrulama

ABSTRACT

Mycotoxins are secondary metabolites produced by microfungi that are capable of causing disease and death in humans and other animals. Because of their pharmacological activity, some mycotoxins or their derivates have found use as antibiotics; still others have been implicated as chemical warfare agents. This review focuses on one of the most important mycotoxin called aflatoxin.

The diseases caused by aflatoxins are loosely called aflatoxicoses. Acute aflatoxicosis results in death; chronic aflatoxicosis results in cancer, immune suppression, and other “slow” pathological conditions.

Since the discovery of aflatoxins, several methods were developed to detect their concentration in foods, but aflatoxins are global problem in common foods. Because of this chemical determination of aflatoxins has become standardized.

In this study, one of this standardized methods have been used and have been validated in current laboratory conditions by useing peanut samples. It has been proven, that the validated method gives correct results.

Keywords: Mycotoxin, aflotoxin, peanut, validation

1. GİRİŞ

İnsan beslenmesinde ve sanayide önemli bir yeri olan yağlar iki sınıf altında toplanır. Bunlar; hayvansal ve bitkisel yaqlardır. Hayvansal yağlar, üretiminin sınırlı ve maliyetinin yüksek olması nedeniyle, dünya yağ üretiminin ancak %10-20'sini oluşturabilmekte, %80-90'nını ise bitkisel yağlar karşılamaktadır.

Dünyada yağ elde etmek amacıyla yetiştirilen bitkiler yaklaşık 14-15 tanedir. Bunlar içinde önemli olanlar: ayçiçeği, susam, yerfistiği, soya, kolza, aspir, ızgın ve ketencik gibi bitkilerdir (Gül vd., 1995).

Önemli bir yağ ve gıda maddesi olan yerfistiği dünyada 2000 yılı itibarıyle 24 milyon ha alanda yetiştirilmektedir. Soya ve pamuktan sonra dünyanın en önemli üçüncü yağlı tohum bitkisidir (Putnam vd., 1991).

Dünya yerfistiği verimindeki gelişmeler değerlendirildiğinde, ele alınan 20 yıllık periyotta dünya ortalama yerfistiği veriminde artış olduğu gözlenmektedir. Türkiye yerfistiği veriminde de yaklaşık %20'lik bir artış dikkat çekmektedir. 2000 yılı itibarıyle 2.571 kg/ha olan Türkiye yerfistiği verimi dünya ortalamasının %77.5 üzerinde gerçekleşmiştir (Gül, 2001).

Unutulmamalıdır ki, gelişmekte olan birçok ülkenin olduğu gibi Türkiye'nin ekonomisinin temelini de tarım sektörü oluşturmaktadır. Ulusal gelirimizin arttırılmasında yerfistiği gibi dış satıma yönelik tarım ürünlerinin yetiştirilmesinde ve bunların farklı浑lere işlenmesinde gerekli dikkatin gösterilmesi ve tedbirlerin alınması AB'ye girmeye hazırlandığımız bu günlerde yadsınamaz bir gereklilik halini almıştır. Tarım Bakanlığı "Avrupa Birliği'ne Katılım Müzakereleri ve Türk Tarımının Uyumu" başlıklı yeni bir çalışma yaptı. Yeni çalışma, müzakere sürecinin teknik akışını, bu süreçte Polonya'nın yaptıklarını ve Türkiye'nin yapması gerekenleri genel hatlarıyla çizmektedir. Çalışmada, çok acil olarak "gıda sağlığı, hayvan sağlığı ve bitki sağlığı" konularına dikkat etmezsek, hem AB'ye mal satamayacağımız, hem de iç pazarımızda kendi insanımızı sağlıksızlığa mahkum edeceğimiz hatırlatılıyor. Yediğimiz ürün ve gıdaların AB'nin sağlık standartlarından çok uzakta seyrettiği bir kez daha bu çalışmayla saptanmaktadır; gıdalarımızın en büyük sorunun ise aflatoksinler olduğunun altı çizilmektedir [3].

Aflatoksin, özellikle yerfistiği ve diğer yağlı tohumların uygun olmayan depolama ve taşıma dönemlerinde taneler üzerinde büyüp gelişen *Aspergillus flavus* ve de *Aspergillus parasiticus* türü kük mantarları tarafından üretilen bir zehirdir. Bu zehirle bulaşık ürünlerin yenmesinin insan ve hayvanlar için tehlikeli olduğu saptanmıştır (Biçici, 2001).

Aflatoksinler neden oldukları ekonomik kayıplar yanında, insan ve hayvan sağlığı üzerindeki olumsuz etkileri nedeniyle de çok önemli mikrobiyal ürünlerdir (Derici, 1997). Aflatoksin oluşumunda; ortamdaki küf gelişimine uygun substratlar, bu substratlara bulaşan küflerin çeşidi, sıcaklık ve nem gibi çevre koşulları, toprak işleme, zararlilarla mücadele, sulama gibi yetişirme vasıtaları son derece etkin roller oynamaktadır. Aflatoksin oluşumunu tamamen önlemek veya kısıtlamak için aflatoksin oluşumuna neden olan koşulları kontrol altına almak gereklidir (Derici, 1997).

Ürüne küf sporlarının bulaşması ve bunu takiben aflatoksin üretiminin gerçekleşmesinden sonra normal şartlarda ürünün yapısını bozmadan kimyasallar ile aflatoksinleri elemeye etmek mümkün değildir. Ayrıca sıcaklığa oldukça dayanıklı olan aflatoksinler pastörizasyonla da üründe azaltılamamaktadır (Tosun, 1996).

İnsan sağlığını korumak için, tüketime sunulacak üründen örnekler alınarak aflatoksin analizi yapılmalıdır. Tolerans seviyesinin üzerinde aflatoksin kirliliği içeren ürünlerin pazarlanması önlenmelidir. Aflatoksin için tolerans seviyesi ülkelere göre değişmektedir. Örneğin bu seviye ABD'de 20 µg/L olurken Avrupa ülkelerinde daha düşüktür. Ülkemizde fındık, yerfistiği ve diğer yağlı kuru meyveler, yağlı tohumlar, incir, üzüm ve kurutulmuş meyveler ve bunlardan üretilen kurutulmuş gıdalar için belirlenmiş olan aflatoksin B₁ limiti 5 µg/L iken toplam aflatoksin limiti (B₁+B₂+G₁+G₂) 10 µg/L'dir (Türk Gıda Kodeksi).

Gıdalardaki aflatoksin miktarının tespitinde kullanılan metod da çok önemlidir. Avrupa Birliği Ülkelerine ihracat yapabilmemiz için, kullanılan metodun uluslararası standartlara uygun olması ve bulunan sonuçların da uluslararası otoritelerce kabul görmesi bir zorunluluk halini almıştır.

Bu çalışmada yerfistiğında HPLC ile aflatoksin tespiti için kullanılan metodun uluslararası düzeyde olduğunun ispatlanması amaçlanmıştır.

Yapılan çalışmalar sonucunda, kullanılan HPLC sisteminin yerfistiğında aflatoksin analizine uygun olduğu, kullanılan metodun ve sistemin performansının tekrarlanabilir olduğu ve çalışılan konsantrasyon aralığında (0.36-3.6 µg/L) yapılan ölçümlerin doğrusal olduğu kanıtlandı. Ayrıca yerfistiğında aflatoksin analizi için tayin ve ölçüm limitleri (LoD-LoQ) saptandı. Yapılan stabilité çalışmaları ile de, belirli koşullarda bekletilen enjeksiyona hazır yerfistiği numunelerinde bekleme sonucunda meydana gelen değişiklikler saptandı.

2. YERFİSTİĞİ

Yerfistiği, baklagiller familyasından otsu, senelik, yazlık bir yağı bitkisidir. Bezelye, bakla, fasulye ile akrabadır, ancak bunlardan meyvelerini toprak içinde meydana getirmesi ile ayrılır (Öğütçü, 1969).

Yerfistiği baklagil bitkisi olduğundan, diğer baklagillerde olduğu gibi, havanın serbest azotunu toprağa bağlar ve kendisinden sonra ekilecek bitkiye azot ve organik maddece zengin bir toprak bırakır. Yerfistiği aynı zamanda bir çapa bitkisi de olduğundan yetişme süresi boyunca toprak devamlı çapalar, yabancı otları temizler ve toprağı havalandırır. Bu nedenle de iyi bir ekim nöbeti bitkisidir (Arıoğlu, 1999).

Yerfistiği tohumları, çeşitlerine göre değişmekle beraber %44-56 oranında yağ içermektedir. Yerfistiği yağı; tadı ve dayanıklılık özellikleri bakımından pek çok bitkisel yağıdan daha üstündür.

Yerfistiği tohumlarında yaklaşık % 18 oranında karbonhidrat ile bol miktarda K, Ca, Mg, P ve S gibi madensel maddeler bulunmaktadır. Ayrıca, yerfistiği; A, B ve E gibi vitaminlerce de oldukça zengindir.

Yerfistiği bir baklagil bitkisi olduğu için, bitki kısmı çok değerli bir hayvan yemidir. Yeşil yem olarak doğrudan hayvanlara yedirildiği gibi, kurutularak kış mevsiminde de hayvanlara yedirilmektedir. Yerfistiği kuru otunda %11 protein, %5 yağ, %22 ham selüloz, %42 azotsuz öz maddeler, %10 kül ve %10 su bulunmaktadır.

Yerfistiği meyvelerinden tohumun çıkarılması ile geriye kalan kabukta; % 6-7 ham protein, %1-2 yağ, % 60-70 ham lif, %35-45 selüloz, %27-33 lignin ve %2-4 kül bulunmaktadır. Bu nedenle yerfistiği kabukları; sunta yapımında, yem dolgu maddesi olarak, mantar yetiştirciliğinde, yakacak olarak, yapay odun yapımında dolgu maddesi olarak, yapay kömür yapımında, sığır yetiştirciliğinde kaba yem olarak, kümes hayvanları yetiştirciliğinde altlık olarak ve mulch olarak değerlendirilmektedir.

Kültürü yapılan yerfistiği çeşitleri, pazar tiplerine göre dört grup altında toplanmaktadır. Bunlar; Valancia, Spanish, Virginia ve Runner çeşitleridir. Bunlardan Spanish ve Valancia çeşitleri dik gelişme gösterir, Runner tipi çeşitler yatık, Virginia tipindeki çeşitler ise yarı yatık ve yatık gelişme gösterirler. Bugün ülkemizde üretimi yapılan çeşitler Virginia grubundan olup, yatık ve yarı yatık olarak gelişmektedir (Arıoğlu, 1999).

2.1 Yerfistiğinin Kökeni

Yerfistiğinin kökeni ve yayılışı hakkında son yıllarda yapılan yoğun çalışmalar sonucunda, gen merkezi oldukça aydınlatılmıştır. Buna göre, yerfistiğinin gen merkezi olarak Güney Amerika kıtası kabul edilmiştir (Güney Bolivya-Kuzey Batı Arjantin).

Yerfistiğinin Türkiye'ye ne zaman ve nasıl girdiği kesin olarak bilinmemektedir. Ancak ülkemizde ilk defa Trakya bölgesinde yetiştirmeye başlandığı, daha sonra ise Ege, Akdeniz ve Güney Doğu Anadolu bölgelerine yayıldığı araştırcılar tarafından bildirilmektedir (Arioglu, 1999).

2.2 Yerfistiğinin Hasadı ve Kurutulması

Ülkemizde tarımı yapılan yerfistiği çeşitleri 150-160 günde hasat olgunluğuna gelmektedirler. Yerfistiğinin hasat zamanının doğru olarak belirlenmesi verimi ve de hasat kaybını önemli ölçüde etkilemektedir.

Yerfistiği hasadının sonbahar döneme rastlaması nedeniyle, kurutma önemli bir sorun olarak ortaya çıkmaktadır. Yeni hasat edilen yerfistiğında %50 dolaylarında rutubet bulunmaktadır. Bu nedenle, hasat sonrası elde edilen ürünün kurutulması gerekmektedir. Yerfistiğinin uzun süre bozulmadan saklanabilmesi için, kabuklu olarak %9'un altında, iç olarak ise %7'nin altında nem içermesi gerekmektedir. Bu ise, sonbahardaki tabi şartlardaki kurutma ile çoğu kez mümkün olmamaktadır. Uzun süre saklanacak yerfistiği ürünlerini kesinlikle kurutma tesislerinde kurutulmalıdır. Yukarda verilen rutubet oranlarının üzerinde nem içeren yerfistikleri kısa sürede küflenirler, aflatoksin oluşur ve böceklenme başlar (Woodnoof, 1973).

2.3 Yerfistiği ve Aflatoksin Sorunu

Aflatoksin, özellikle yerfistiği ve diğer yağlı tohumların uygun olmayan depolama ve taşıma dönemlerinde taneler üzerinde büyüp gelişen *Aspergillus flavus* ve de *Aspergillus parasiticus* türü kük mantarları tarafından üretilen bir zehirdir. Bu zehirle bulaşık ürünlerin yenmesinin insan ve hayvanlar için tehlikeli olduğu saptanmıştır. Ürün tarlada iken uzun süren hasat öncesi kuraklıklar toksin gelişimini uygun kılabılır. Bu gibi durumlarda sulama yapılarak bu kurak döneme ara verilebilir. *A. flavus*'un çok iyi büyüp geliştiği yerfistiği ürünü (Şekil 2.1) hasadı müteakip hemen, güvenli nem içeriğine kadar kurutularak düşük sıcaklık ve nisbi nem koşullarına sahip depolarda bekletilmelidir. Özellikle ilkel koşullarda yol kenarlarında veya boş arazilerde doğrudan toprak üzerinde günler süren bir kurutma

işlemi aflatoksin gelişimi yönünden sakıncalıdır. Hasadi takiben kurutma tesislerinde kabuklu haldeki yerfistiği %10 nem içeriğine gelinceye kadar kurutulmalıdır. Hasat edilmiş yerfistiği ürünü %60 ve daha aşağıdaki nisbi nem düzeylerine ve 15°C gibi düşük sıcaklığa sahip depolarda tutulmalıdır. Tarladan gelen bozuk ve böcek zararına uğramış meyveler seçilerek ayrılmalı ve sağlam ürünle birlikte depoya sokulmamalıdır. İç yerfistiğında güvenli nem içeriği % 7'dir (Biçici, 2001).

Tüketime sunulacak ürünlerden örnekler alınarak aflatoksin analizi yapılmalıdır. Tolerans seviyesinin üzerinde aflatoksin kirliliği içeren ürünlerin pazarlanması önlemelidir. Aflatoksin için tolerans seviyesi ülkelere göre değişmektedir. Örneğin bu seviye ABD'de 20 µg/L olurken avrupa ülkelerinde seviye daha düşüktür. Ülkemizde fındık, yerfistiği ve diğer yağlı kuru meyveler, yağlı tohumlar, incir, üzüm ve kurutulmuş meyveler ve bunlardan üretilen kurutulmuş gıdalar için belirlenmiş olan aflatoksin B₁ limiti 5 µg/L iken toplam aflatoksin limiti (B₁+B₂+G₁+G₂) 10 µg/L'dir (Türk Gıda Kodeksi).



Şekil 2.1 *A. flavus*'un yerfistiği taneleri üzerinde gelişimi

3. ASPERGILLUS TÜRÜ KÜF MANTARLARI

Aspergillus'lar yeryüzünde her yerde yaygın olarak bulunan hifli mantarlardır; doğal yaşam ortamları toprak ve çürüyen bitki materyalidir; doğadaki temel işlevleri karbon ve nitrojen çevrimiyle ilgilidir, biyodegradasyonda rol alırlar. Bu mantarlar ürettikleri enzimler sayesinde tüm organik maddeleri ayırtarak kullanır ve saprofit olarak yaşırlar; uygun koşullarda bitki, hayvan ve insanlarda patojen hale geçebilirler. Yaşam çevrimlerini tamamlamak için konak olarak insan gereksinimleri yoktur. Üreme hızı ve kapasiteleri yüksektir. Atmosferde dağılan konidyumlar havada asılı kalabilir, toz ve diğer parçacıklarla her yere taşınabilirler (Chazalet vd., 1998; Hospenthal vd., 1998).

Mantarların etkisiyle bazı besinlerde oluşan zehirlerin yenmesiyle ortaya çıkan mikotoksikozis'de de bu mantarın önemli bir yeri vardır. *Aspergillus flavus* ve benzeri mantarların ürediği tahıl ve meyvelerde gelişen aflatoksinlerle aflatokzik; aflatoksin B ile karaciğerde adenoma ve kanser oluşumu; *A. ochraceus*'un ürettiği okratoksin A ve B'nin hayvanlarda böbrek ve karaciğerleri bozduğu bildirilmiştir (Bennett, 1987; 1991; Vesonder vd., 1991; Unat vd., 1995; Lopez-Diaz ve Flannigan, 1997).

Alerji ve mikotoksikoz dışında *Aspergillus* türlerinin sebep oldukları hastalıklar aspergiloz olarak tanımlanmaktadır. Bu mantarlar tüberküloz, sarkoidoz, bronşektazi, pnömonilerin ardından akciğerlerde aspergilloma denilen mantar topu oluşturabilirler. *Aspergillus*'ların mantar sinüzitlerinin en sık karşılaşılan etkeni olduğu bildirilmektedir. Deri tutulumları ve sindirim sistemi özürlü kişilerdeki enfeksiyonlar da diğer aspergiloz şekilleri arasında sayılmaktadır (Kwon Chung ve Bennett, 1992; Richardson ve Warnock, 1997; Verschraegen vd., 1997).

Aspergillus cinsi ile ilgili olarak Raper ve Fennel'in (1965) yayınladıkları monografta 132 tür sayılmıştır. Bugün bu cinsin kabul edilmiş 180'den fazla türü bulunmaktadır ve yeni türler de tanımlanmaktadır (Samson ve Pitt, 1990; Samson vd., 1995). Aspergilzoza en sıkılıkla sebep olduğu bildirilen türler *A. fumigatus*, *A. flavus*, *A. niger*, *A. terreus*, *A. nidulans*'dır. Daha nadir olarak hastalığa sebep olanlar arasında ise *A. amstelodami*, *A. avennaceus*, *A. caesiellus*, *A. candidus*, *A. carneus*, *A. chevalieri*, *A. clavatus*, *A. glaucus*, *A. granulosus*, *A. oryzae*, *A. quadrilineatus*, *A. restrictus*, *A. sydowi*, *A. ustus*, *A. versicolor*, *A. wentii* sayılmaktadır (Kwon Chung ve Bennett, 1992; Denning, 1998; Latgé, 1999).

Aspergillus türlerinin sınıflandırılması kültür ve morfoloji özelliklerindeki farklılıklara dayanır; kimya ve biyokimya yöntemlerinin tanım değeri düşüktür. *Aspergillus* hücre duvarlarında N-asetilglukozamin, glukoz, mannoz ve galaktoz bulunduğu belirlenmiştir.

Moleküler biyoloji ve genetik yaklaşımlar daha güvenilir bulunmaktaysa da henüz bilgi birikimi yeterli değildir (Samson ve Pitt, 1990; Kwon Chung ve Bennett, 1992; Samson vd., 1995; Latgé, 1999).

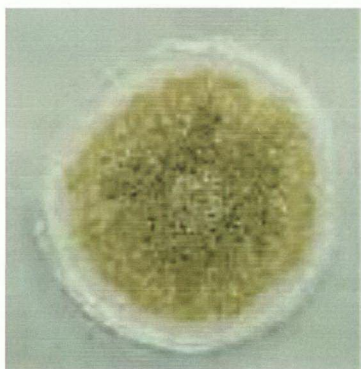
3.1 Aspergillus Flavus

Aspergillus flavus türü küf mantarı aynı zamanda “firavunların laneti” olarak da bilinmektedir. Tutench-Amun'un mezrasında bol miktarda aspergillus flavus sporu bulunmaktadır ve bu sporların ürettiği mikotoksinler kazı çalışmalarına katılan 30 arkeologun hayatını kaybetmesine neden oldu. Aspergillus flavus alerjik reaksiyonlara sebep olabildiği gibi akciğer, mide, bağırsak gibi organların yanı sıra sinir sistemine de saldırabilir [1].

Aspergillus flavus türü küf mantarları, ya aflatoksin B'yi (aflatoksin B₁ ve B₂) ve siklopiazonik asidi bir arada üretirler ya da ikisini birden üretmezler (Pitt, 1993; Horn ve Grene, 1995; Vaamonde vd., 1995).



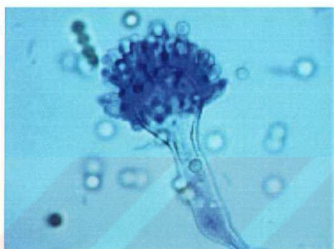
Şekil 3.1 Elektron mikroskopu altında *Aspergillus flavus*'un görüşünü



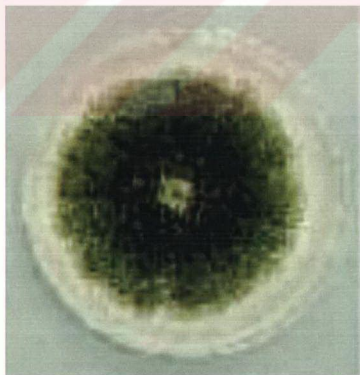
Şekil 3.2 *Aspergillus flavus*'un görünüşü

3.2 Aspergillus Parasiticus

Aspergillus parasiticus genellikle işlenmiş topraktan, tohumlardan, diğer bitkilerden ve böceklerden izole edilebilmektedir. Aspergillus parasiticus alerjik reaksiyonlara neden olmaktadır, ancak bugüne kadar nöbetli bir hastalığa neden olduğu belgelenmemiştir. Aspergillus parasiticus aflatoksin B₁ ve B₂'nin yanı sıra aflatoksin G₁ ve G₂ de üretebilir, ancak siklopiazonik asid üretmez [2].



Şekil 3.3 Elektron mikroskopu altında *Aspergillus parasiticus*'un görünüşü



Şekil 3.4 *Aspergillus parasiticus*'un görünüşü

4. MİKOTOKSİNLER

Mikotoksinler, hifli mantarlar tarafından üretilen ikincil metabolitlerdir. Bütün mitotoksinler düşük moleküler ağırlığa sahiptir. Mikotoksinler insanlarda ve diğer hayvanlarda hastalığa ve de ölüme neden olabilirler. Bazı mikotoksinler ya da mitotoksin türevleri farmakolojik aktiviteleri nedeniyle antibiyotik olarak kullanılırken, bazılarıysa kimyasal savaş ajansı olarak kullanılmaktadır (Bennett, 1987).

Toksik fungal metabolitlerin yenmesi, solunması, deri yoluyla ve diğer yollarla vücuta alınması sonucunda ise mikotoksikozis olarak adlandırılan hastalıklar ortaya çıkmaktadır. Mikotoksikozis'in belirtileri, mikotoksinin türüne, toksine maruz kalınan süreye, yaşa, sağlık durumuna ve de maruz kalan kişinin cinsiyetine bağlıdır.

Mitotoksin terimi, 1962 yılında Londra, İngiltere'de 100,000 hindinin beklenmedik şekilde ölmesinden sonra ortaya çıkmıştır (Blout, 1961; Forgacs, 1962). Bu esrarengiz hindi X hastalığının nedeni, hindilerin *Aspergillus flavus* ait ikincil metabolitler (aflatoksinler) ile kontamine olmuş yerfıstığı içerikli yemle beslenmeleriydi. Bu durum bilim adamlarında küflere ait başka metabolitlerin de ölümcül olabileceği fikrini uyandırdı ve çok geçmeden daha önceden bilinen fungal toksinlere okratoksin A gibi ikincil metabolitler ilave edildi.

Cok sayıda bilim adamının toksijenik ajanların keşfine katılması nedeniyle, 1960-1975 arasındaki dönem mikotoksinlerin altın çağı olarak adlandırılmaktadır (Maggon vd., 1977). Kullanılan tanıma bağlı olarak, günümüzde 300-400 kadar bileşen mikotoksin olarak adlandırılmaktadır (Cole ve Cox, 1981).

Bütün mikotoksinler mantar kaynaklı olmasına rağmen, mantarlar tarafından üretilen bütün toksik bileşenler mikotoksin olarak adlandırılmaz. Burada hem hedef organizma, hem de metabolitin konsantrasyonu önemlidir (Graniti, 1972). Mikotoksinler, mantarlar tarafından üretilmekteyler ve de bunların düşük konsantrasyonları omurgalar için toksiktir. Etanol gibi düşük moleküler ağırlığa sahip diğer metabolitler ise, sadece yüksek konsantrasyonlarda alındığında toksik etki göstereklerinden mikotoksin olarak değerlendirilmemektedirler (Bennett, 1987).

Mikotoksinleri tanımlamak zor olduğu gibi onları sınıflandırmak da zordur. Mikotoksinler, çeşitli kimyasal yapılarında olmaları, sayısız biyolojik etkiye sahip olmaları ve de birçok değişik mantar türü tarafından üretiliyor olmaları nedeniyle, bu toksinlerin sınıflandırılması genellikle sınıflandırmayı yapan kişinin aldığı eğitime bağlı olarak farklılık göstermektedir. Örneğin doktorlar mikotoksinleri sebep oldukları hastalıklara göre sınıflandırırken, hücre

biyologları bu toksinleri sentezlendikleri biyolojik materyale göre sınıflandırmaktadır. Yapılan sınıflandırmaların hiç biri tam olarak tatmin edici değildir.

4.1 Toksikoloji ve İnsan Sağlığı

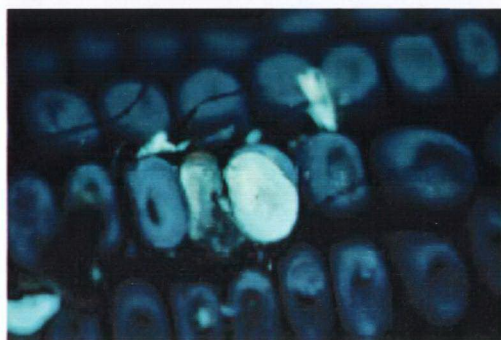
Diğer tüm toksikolojik sendromlar gibi mikotoksikozis de akut ve kronik olarak karakterize edilebilir. Akut zehirlenmeler hemen etkilerini gösterirler ve bunlara belirgin bir toksik cevap oluşur. Kronik zehirlenmeler ise, küçük dozlardaki toksine uzun süre maruz kalındığı zaman ortaya çıkar. Kronik zehirlenmelerin genellikle kanser gibi geri dönüşü olmayan sonuçları vardır (James, 1985).

Dünyada genelinde besinlerin işlenmesi ve depolanması sırasında ilkel metotların kullanıldığı yerlerde yaşayan popülasyonlar daha çok mikotoksine maruz kalmaktadır. Bunun yanı sıra, gelişmiş ülkelerdeki bazı etnik grupların da geleneksel alışkanlıklarından dolayı mikotoksinlere daha çok maruz kaldıkları saptanmıştır (Barrett, 2000).

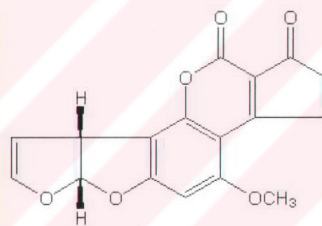
Mikotoksinleri kontrol altına almaya yönelik olan metotların çoğu mikotoksin oluşumunu engellemeye yönelikir. Bu metotlar arasında iyi tarımsal uygulamalar ve hasat sonrası elde edilen ürünün yeterli düzeyde kurutulması bulunmaktadır (Lisker ve Lillehoj, 1991). Günümüzde ise ürünlerde hasat öncesi kontaminasyonu önlemeye yönelik pek çok araştırma yapılmaktadır. Bu yapılan çalışmalar arasında mikotoksin oluşumuna neden olan genlerin kontrol altına alınması ve de genetik olarak mikotoksin yapan mantarlarla karşı dirençli ırkların gen mühendisliği yoluyla üretilmesi bulunmaktadır (Brown vd., 1998). Bugüne kadar önerilen bu yöntemlerden hiç biri bu problemi çözemedi. Mikotoksinler yiyeceklerle doğal yollarla bulaştıkları için, bu toksinlerin besinler üzerinde oluşmalarını önlemek genelde mümkün değildir. Ancak, hükümetler kontrol yoluyla mikotoksinler ile kontamine olmuş yiyecekleri kontamine olmamışlardan ayırmaya çalışmaktadır.

4.2 Mikotoksinlerin Bir Türü Olarak Aflatoksinler

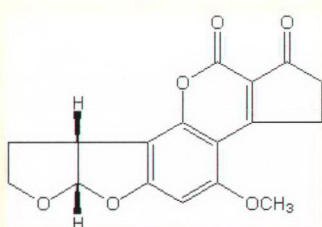
Aflatoksinlerin dört ana tipi bulunmaktadır; B₁, B₂, G₁ ve G₂. Bu dört aflatoksin ince tabaka kromatografisinde farklı R_f değerlerine sahip oldukları için birbirlerinden ayrılabilirler gibi, UV ışık altında farklı renkte (mavi ya da yeşil) fluoresans ışıması (Şekil 4.1) yapmalarıyla da birbirlerinden ayırt edilebilmektedirler.



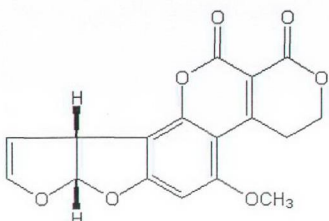
Şekil 4.1 UV ışık altında aflatoksin B₁



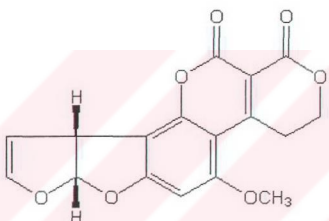
Şekil 4.2 Aflatoksin B₁'in kimyasal yapısı



Şekil 4.3 Aflatoksin B₂'nin kimyasal yapısı



Şekil 4.4 Aflatoksin G₁'in kimyasal yapısı



Şekil 4.5 Aflatoksin G₂'nin kimyasal yapısı

Aflatoksinler, *Aspergillus flavus* ve *Aspergillus parasiticus* tarafından üretilen difuranokumarin türevleridirler. Tarımda en çok kontaminasyona yol açan küf mantarı *Aspergillus flavus*'tur. *Aspergillus bobycis*, *Aspergillus ochraceoroseus*, *Aspergillus nomius* ve *Aspergillus pseudotamari* de aflatoksin üreten aspergillus türleridir, ancak bu türlerde daha az sıklıkla rastlanmaktadır (Goto vd., 1996; Klich vd., 2000; Peterson vd., 2001). Her bir aflatoksjenik tür de, kendi içinde çok farklı kalitatif ve kantitatif özellikler sergilemektedir. Örneğin, *Aspergillus flavus* türlerinin sadece yarısı aflatoksin üretmektedir (Kilch ve Pitt, 1988) ve bunlar $10^6 \mu\text{g}/\text{kg}$ 'dan daha fazla toksin üretebilirler (Cotty vd., 1994).

Bir çok ürün, aflatoksjenik küflerin aflatoksin üretmesine zemin hazırlamaktadır. Tahıllarda, incirde, yağlı tohumlarda, fındıkta, fistıkta ve tütünde sıkılıkla aflatoksin kontaminasyonuyla karşılaşılmaktadır (Detroy vd., 1971; Diener vd., 1987).

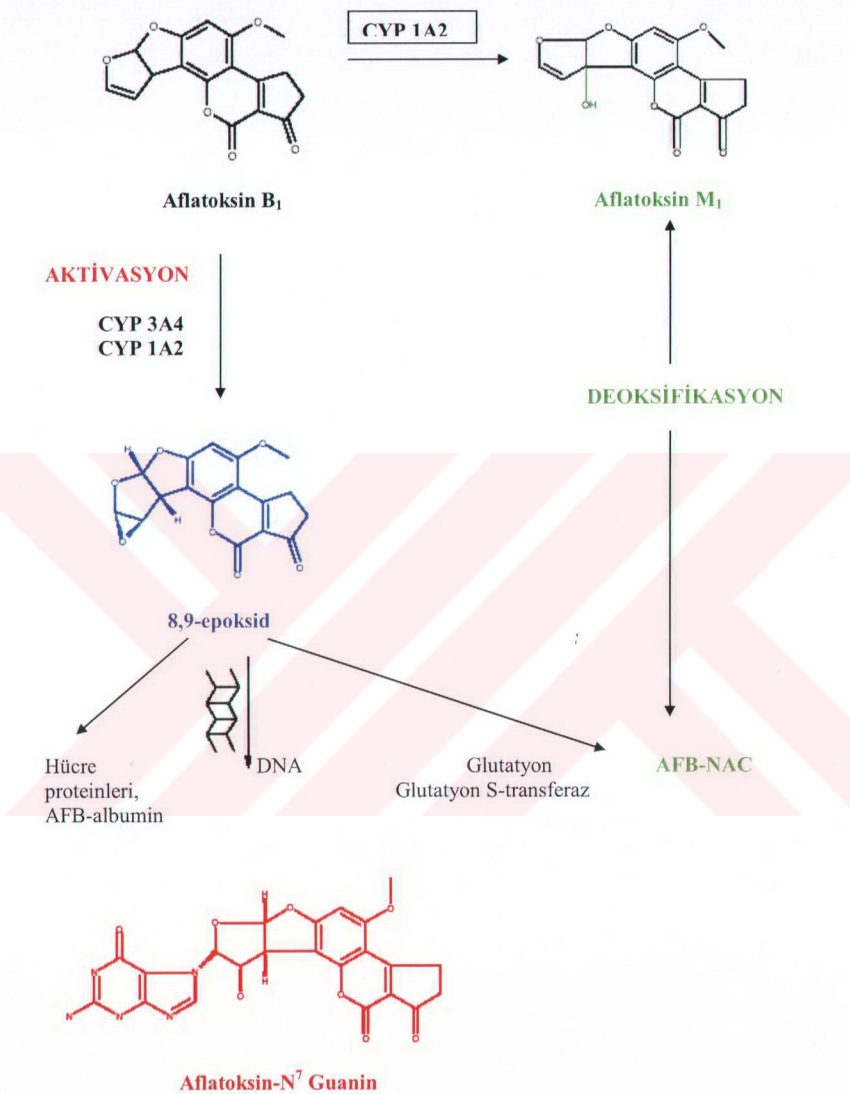
Aflatoksin kontaminasyonu bir çok yolla gerçekleştirilebilir. Ürün bazen hasat öncesi tarlada aflatoksin ile kontamine olur. Tarlada gerçekleşen kontaminasyonun ana sebebi kuraklıktır (Diener vd., 1987; Klich, 1987). Ancak, uygun olmayan depolama koşulları tarla

kuraklılarından daha büyük bir sorun yaratmaktadır. Depolama sırasında küp oluşumunu tetikleyen iki unsurdan biri ürünün nem içeriği, diğeri ise deponun bağıl nemidir (Detry v.d., 1971; Wilson ve Payne, 1994). Çifliklerdeki hayvan ölümlerinin artması aflatoksinlerle bağıntılıdır. Bu durum, elde edilen ürünün hem hayvan yemi olarak, hem de ihraç ürünü olarak değerini düşürmektedir (Smith ve Moss, 1985). Süt ürünlerde indirekt aflatoksin kaynağı olabilirler. İnekler aflatoksin ile kontamine olmuş yem ile beslendikleri zaman aflatoksin B₁'i aflatoksin M₁'e dönüştürmektedirler (Van Egmond, 1989).

Aflatoksinler hem insanlarda hem de hayvanlarda zehirlenmelere ve kansere yol açmaktadır (Newberne ve Butler, 1969; Shank v.d., 1972; Peers ve Linsell, 1973; Eaton ve Groopman, 1994). Aflatoksin B₁, bilinen en kuvvetli doğal kanserojendir (Squire, 1981) ve toksijenik türler tarafından en çok üretilen aflatoksindir.

Aflatoksinlerin neden oldukları hastalıklar genel olarak aflatoksikozis olarak adlandırılır. Akut aflatoksikozis hemen ölümle sonuçlanırken; kronik aflatoksikozis kansere, bağışıklık sisteminin baskılanmasına ve başka “yavaş” gelişen patolojik durumların ortayamasına neden olmaktadır (Hsieh, 1988). Kümes hayvanlarına, kemirgenlere, balıklara ve insan olmayan primatlara aflatoksin B₁ içeren besinler verilerek aflatoksin B₁'in hedef organının karaciğer olduğu saptandı. Ancak, bu bahsedilen türlerin aflatoksin'e gösterdikleri tepkinin, yaşla, cinsiyetle, vücut ağırlığıyla, beslenme şekliyle, hastalığa neden olan ajanlara maruz kalınan süreyle ve de besinlerde diğer mikrotoksinerin varlığıyla farklılık gösterdiği saptandı (Newberne ve Butler, 1969; Cullen ve Newberne, 1994; Eaton ve Groopman, 1994).

Sitokromda bulunan P450 enzimleri aflatoksinleri aktif formları olan 8,9-epoksid formuna çevirirler. 8,9-epoksid eski yıllarda aflatoksin-2,3 epoksid olarak geçmektedir. 8,9-epoksid hem DNA'ya hem de proteinlere bağlanabilir (Eaton ve Groopman, 1994). Aktif aflatoksin epoksidin guanine N⁷ pozisyonundan bağlılığı bilinmektedir. Aflatoksin B₁-DNA dimeri GC'nin TA ile yer değiştirmesine neden olabilir. Sitozolde ve mikrozomlarda bulunan aktif glutatyon S-transferaz sistemi, indirgenmiş glutatyonu aktif hale gelmiş olan aflatoksin ile birleştirir ve bu olay aflatoksinin vücuttan atılımıyla sonuçlanır. Hem glutatyon transferaz hem de sitokrom P450 sistemlerinin miktarlarındaki farklılıkların aynı canlı türünün aflatoksin'e verdiği tepkinin çeşitliliğini etkilediği düşünülmektedir (Eaton ve Ramsdel, 1992; Eaton ve Groopman, 1994).



Şekil 4.6 Aflatoxin-N⁷ guanin'in ve aflatoxin M₁'in sentez şeması

Test hayvanlarının aflatoksine verdikleri tepkilerin farklılığından dolayı, elde edilen verilerle aflatoksinin insanları nasıl etkileyeceğini kestirmek pek mümkün değildir. Ancak, *Homo sapiens*'lerde akut aflatoksin zehirlenmelerine çok sık rastlanmaktadır. 1974 yılında Hindistanda görülen hepatit salgısında ölen 100 kişinin hayatını kaybetme nedeni, yoğun şekilde aflatoksinle kontamine olmuş misirla ilişkilendirilmiştir. Ölen yetişkinlerin günde ortalama 2 ila 6 mg arasında aflatoksin tükettiği düşünülmektedir (Krishnamachari vd., 1975). Günümüzde, yetişkinler için akut ölümcül aflatoksin dozu aşağı yukarı 10-20 mg olarak hesaplanmıştır (Pitt, 2000). Ancak, fıkra gibi bir rapor bu tezi çürütmektedir. Rapor, intihar girişiminde bulunan bir kadının, bu girişim sırasında 40 mg saflaştırılmış aflatoksin tüketiktikten 14 yıl sonra hala yaşamını sürdürmekte olduğunu bildirmektedir. Bu kadının kanında ve idrarında yapılan bir çok test, çekilen röntgenler ve karın bölgesinde, karaciğerde ve de dalakta yapılan ultrason ve tomografi analizleri normal sonuçlar vermiştir (Willis vd., 1980).

Aflatoksin tüketiminin potansiyel bir zehirlenme yolu olması, aflatoksinlerin biyoterörizimde kullanılmasını açıklamaktadır. Irak'ın füzelerde kullanmak üzere aflatoksin stokladığı konusunda önemli kanıtlar bulunmaktadır.

Aflatoksinlerin insanlarda yarattığı kanserojenik etkiler hakkındaki veriler, aflatoksinlerin insanlardaki akut toksik etkileri hakkındaki verilerden çok daha sarsıcıdır. Diyete alınan aflatoksinler, primer heptoselüler karsinoma oluşumunu tetikleyen önemli bir risk faktörü olarak değerlendirilmektedir; özellikle hepatit B geçirmiş olan kişilerde bu etki daha da yüksektir. Klasik epidemiyoloji dalında gerçekleştirilen bir çok çalışma, karaciğerde kanser oluşumunu diyete alınan aflatoksinlerle ilişkilendirmiştir (Pers ve Linsell, 1973; Van Rensburg vd., 1985; Li vd., 2001). Bu çalışmalarдан elde edilen sonuçlar tamamen tutarlı değildir ve her bir bireyin hayatı boyunca ne kadar aflatoksin'e maruz kaldığını kantitatif olarak belirlemek oldukça zordur. Karşılaşılan karaciğer kanseri sayısı ülkeden ülkeye farklılık göstermektedir, ancak Çin'de, Filipinler'de, Tayland'da ve bir çok Afrika ülkesinde en çok rastlanılan kanser türüdür. Hepatit B virüsünün neden olduğu enfeksiyonların varlığı, primer karaciğer kanseri için önemli bir risk oluşturmaktadır. Bu olguya kontrol etmek amacıyla Shangay ve Çin'de 3.5 yıl içinde toplanan 18,000 idrar örneği ile yapılan çalışmalar göstermiştir ki; sadece aflatoksin'e maruz kalmış olan kişilerde relatif karaciğer kanseri oluşumu riski 2'dir; idrarında hepatit B virüsünün antijenlerine rastlananlarda bu risk 5'tir, idrar örneğinde hem aflatoksin'e hem de hepatit B'ye rastlananlarda bu risk 60'tır (Ross vd., 1992). Karaciğer kanseri riskini azaltmak için hepatit B aşısı yaptırmak, aflatoksinleri diyetten uzaklaştırmaktan çok daha gerçekçi ve az maliyetli bir stratejidir (Henry vd. 1999, 2002).

Biyolojik olarak aflatoksinlerin varlığı, aflatoksin metabolitlerinin kanda, idrarda ve de sütte analizlenmesiyle kanıtlanabilir. Aflatoksin metabolitlerini ekstrakte edilmiş DNA dimerlerinde ve kan proteini dimerlerinde de gözlemlerek mümkünür. Aflatoksin B₁-N⁷-guanin dimeri idrardaki en önemli aflatoksin biomarker'ıdır ve sadece kişinin daha önceden aflatoksine maruz kalmış olduğunu kanıtlar (Eaton ve Gallagher, 1994; Eaton ve Groopman, 1994).

p53 tümör supressör geninin deaktive olmasının primer heptoselüler karsinoma oluşumunda önemli etkisi olduğu düşünülmektedir. Afrika'daki ve Çin'deki kanser hastalarıyla gerçekleştirilen çalışmalar, p53 tümör supressör genindeki mutasyonların, guaninlerin timinlerle yer değiştirmesiyle sonuçlandığını göstermiştir (Bressac vd., 1991; Hsu, vd., 1991). Aktif olan aflatoksin epoksidin Guanin'e N⁷ pozisyonundan bağılandığı bilinmektedir. Ayrıca aflatoksin B₁-DNA dimerlerinin GC'nin TA ile yer değiştirmesine neden olduğu da bilinmektedir. p53 geninin 249 nolu kodonunda gerçekleşen spesifik mutasyon ise, tümör dokusuna bağlı kalan ilk "karsinojen-spesifik" biyomarker örneği olarak adlandırılmaktadır (Eaton ve Gallagher, 1994).

Aflatoksinlerin biyosentezi ve moleküler biyolojisi ile ilgili bir çok önemli çalışma bulunmaktadır. Asya mutfağında soya sosu fermentasyonunda kullanılan *Aspergillus oryzae* ve *Aspergillus sojae* türü organizmalar aflatoksiyenik türler olan *Aspergillus flavus* ve *Aspergillus parasiticus* ile yakın akrabaları. Yemek yapımında kullanılan bu mantar türlerinin hiçbir zaman aflatoksin ürettiği gözlenmediyse de (Wei ve Jong, 1986), bu mantarlar aflatoksin sentezi sırasında gerekli olan genlerin homologlarına sahiptirler (Klich vd., 1995). Silinmeler ve diğer genetik hatalar sonucunda *Aspergillus oryzae* ve *Aspergillus sojae*'de aflatoksin oluşumu durmuştur (Watson vd., 1999; Takahashi vd., 2002).

5. MATERYALLER

5.1 Kullanılan Cihaz ve Malzemeler

Laboratuar terazisi	: Sartorius LP1200
Ultraturrax blender	: Janke&Kunkel-Ika T25
Mekanik çalkalayıcı	: Eberbach
Su destilasyon sistemi	: Schott gerate
Ultra saf su sistemi	: Sartorius arium 611UV
Cam malzemeler	: Isolab, class A
- Erlen	: 500 mL, kapaklı
- Mezür	: 50, 100, 250, 500 mL
- Pipet	: Bullu 1, 2, 3, 5, 10 mL
- Dereceli pipet	: 5 mL
- Ölçülü balon	: 5, 10, 20, 25, 50, 100, 1000 mL, amber renkli
- Beher	: 100 mL
- Huni	: 8 cm çapında
- Şişe	: 250 mL, amber renkli, iç ve vida kapaklı, cam
Rezervuar	: İmmünoaffinite kolonları için
Süzgeç kağıdı	: Siyah bant (filtrak, grade: 388, d= 125mm)
Süzme aparatı	: J.T. Baker Inc., vakumlu
Filtreler	: Macherey-Nagel Chromafil Pet- 45125
Otomatik pipet	: 100-1000 μ L (1 μ L aralıklı)
pH metre	: Metrohm 744
İmmünoaffinite kolonları	: Bio-trap immunoaffinity column BC AF 050 (Bio-crom)
HPLC sistemi	: Thermo Separation Product-Spectra System

5.2 Kullanılan HPLC Sisteminin Teçhizat ve Çalıştırma Parametreleri

Kolon	: ODS-2 Hypersil 250 mm/ 4.6mm (Thermo separation corporation – Lot No: 6061)
Dedektör	: Fluorometrik (thermo separation FL 3000)
Dalga boyu	: Ex; 360 nm, Em; 456 nm
Enjeksiyon hacmi	: 200 µL
Akış hızı	: 1 mL/dak
Türevlendirme aparatı	: Kobracell (Rhone Diagnostic Tech.)
Kolon sıcaklığı	: 30°C

5.3 Kullanılan Kimyasallar

Çalışmada kullanılan kimyasal maddeler Çizelge 5.1'de verilmiştir.

Çizelge 5.1 Kullanılan kimyasal maddeler

Kimyasal Maddeler	Üretici Firma	Lot No.	Kalite
Metanol (CH ₃ OH)	Merck	I1017112321	HPLC grade
Asetonitril (CH ₃ CN)	J.T.Baker	314330017	HPLC grade
% 65'lik nitrik asit (HNO ₃)	Merck	K32226143327	Extra pure
Potasium bromür (KBr)	Merck	K32064105332	GR
Sodyum klorür (NaCl)	J.T.Baker	213330006	Baker analyzed
Potasium dihidrojen fosfat (KH ₂ PO ₄)	Merck	205A644971	DAB
Disodyum hidrojen fosfat anhidrid (Na ₂ HPO ₄)	Merck	F1169586306	GR
n-Hekzan	J.T.Baker	305610001	Baker analyzed
Potasium klorür (KCl)	Merck	K31517236315	GR

5.4 Kullanılan Referans Standartlar

5.4.1 Aflatoksin G₂ Referans Standardı

İsmi: : Aflatoksin G₂
 Molekül ağırlığı : 330.30 g/mol
 Paketlenme şekli : 1 mL'lik amber renkli cam ampul
 Fiziksel şekli : 3.00 mg/mL'lik metanolik çözelti
 Tedarikçi : Dr. Ehrenstorfer GmbH
 Seri numarası : LS 10047500 ME
 Lot numarası : 20302 ME
 Sertifikası : 05.03.2002 tarihinde Dr. J. Heidrich tarafından düzenlenmiştir
 Saklama koşulları : Işıktan korunarak, -15°C'de
 Ampirik formülü : C₁₇H₁₄O₇
 CAS numarası : 7241-98-7

5.4.2 Aflatoksin G₁ Referans Standardı

İsmi: : Aflatoksin G₁
 Molekül ağırlığı : 328.30 g/mol
 Paketlenme şekli : 1 mL'lik amber renkli cam ampul
 Fiziksel şekli : 3.00 mg/mL'lik metanolik çözelti
 Tedarikçi : Dr. Ehrenstorfer GmbH
 Seri numarası : LS 10047500 ME
 Lot numarası : 20302 ME
 Sertifikası : 05.03.2002 tarihinde Dr. J. Heidrich tarafından düzenlenmiştir
 Saklama koşulları : Işıktan korunarak, -15°C'de
 Ampirik formülü : C₁₇H₁₂O₇
 CAS numarası : 1165-39-5

5.4.3 Aflatoksin B₂ Referans Standardı

İsmi: : Aflatoksin B₂
 Molekül ağırlığı : 314.30 g/mol
 Paketlenme şekli : 1 mL'lik amber renkli cam ampul
 Fiziksel şekli : 3.00 mg/mL'lik metanolik çözelti
 Tedarikçi : Dr. Ehrenstorfer GmbH
 Seri numarası : LS 10047500 ME
 Lot numarası : 20302 ME
 Sertifikası : 05.03.2002 tarihinde Dr. J. Heidrich tarafından düzenlenmiştir
 Saklama koşulları : Işıktan korunarak, -15°C'de
 Ampirik formülü : C₁₇H₁₄O₆
 CAS numarası : 7220-81-7

5.4.4 Aflatoksin B₁ Referans Standardı

İsmi: : Aflatoksin B₁
 Molekül ağırlığı : 312.30 g/mol
 Paketlenme şekli : 1 mL'lik amber renkli cam ampul
 Fiziksel şekli : 3.00 mg/mL'lik metanolik çözelti
 Tedarikçi : Dr. Ehrenstorfer GmbH
 Seri numarası : LS 10047500 ME
 Lot numarası : 20302 ME
 Sertifikası : 05.03.2002 tarihinde Dr. J. Heidrich tarafından düzenlenmiştir
 Saklama koşulları : Işıktan korunarak, -15°C'de
 Ampirik formülü : C₁₇H₁₄O₆
 CAS numarası : 7220-81-7

6. DENEYSEL ÇALIŞMA

6.1 Genel Prensip

Yerfistığında aflatoksin miktar tayini için hazırlanan test metodu AOAC Official Method 17th. Ed. (2000)'den alınıp modifiye edilmiştir. Bu test metodunun laboratuar şartları altındaki validasyon çalışmaları kapsamında seçicilik, doğruluk ve geri kazanım, kesinlik, sistem uygunluğu, tayin limiti (LoD), ölçüm limiti (LoQ), doğrusallık ve aralık ve de stabilitet bulunmaktadır.

6.2 Çalışma Ortamı

Validasyon çalışmaları $20\pm5^{\circ}\text{C}$ sıcaklığta, camları UV korumalı film ile kaplı, direkt flüoresans ışığı almayan laboratuar ortamında yapılmıştır. Analizler sırasında amber renkli cam malzeme kullanılmasına özen gösterilmiştir. Amber renkli olarak temin edilemeyen cam malzemeler çalışma esnasında alüminyum folyo ile sarılmıştır.

6.3 Mobil Fazın Hazırlanması

Bu işlem için Çizelge 5.1'de belirtilmiş olan kimyasallar ve de ultra saf su sistemi 611UV'den elde edilen su kullanılmıştır.

620 mL su, 160 mL aseto nitril ve 220 mL metanol 1 litrelük ölçüülü balona alınarak karıştırdı. 120 mg KBr ve $350 \mu\text{L}$ 4M HNO_3 ilave edildi. KBr çalkalanarak çözüldü. Bu şekilde elde edilen mobil faz $0.45 \mu\text{luk}$ filtreden süzüldü.

6.4 Kullanılan Çözeltilerin Hazırlanması

Çözeltilerin hazırlanmasında destile su kullanılmıştır.

6.4.1 Fosfat Tamponlu Tuz Çözeltisi ($\text{pH} = 7.4$)

0.20 g potasyum klorür, 0.20 g potasyum dihidrojen fosfat, 1.16 g disodyum hidrojen fosfat ve 8.00 g sodyum klorür 1L'lik ölçüülü balona tartıldı. 900 mL su ilave edilerek iyice çözüldü. Tuzlar tamamen çözüldükten sonra, 0.1 mol/L konsantrasyondaki hidroklorik asit ya da 0.1 mol/L konsantrasyondaki sodyumhidroksit kullanılarak $\text{pH} 7.4$ 'e ayarlandı. Ölçülü balonun hacmi suyla 1 L'ye tamamlandı.

6.4.2 Nitrik Asit Çözeltisi (4 mol/L)

% 65'lik (v/v) nitrik asitten 28.1 mL alındı, ölçülü balonun hacimi su ile 100 mL'ye tamamlandı.

6.4.3 Ekstraksiyon Çözeltisi

80 hacim metanol 20 hacim su ile karıştırıldı.

6.4.4 Seyreltme Çözeltisi (Metanol-Su Karışımı)

40 hacim metanol 60 hacim su ile karıştırıldı.

6.4.5 Aflatoksin G₂-G₁-B₂-B₁ Referans Standart Çözeltilerinin Hazırlanması

Aflatoksin referans standartı çözeltilerinin hazırlanmasında ultra saf su sistemi Sartorius arium 611UV'den elde edilen su kullanılmıştır.

6.4.5.1 Aflatoksin G₂-G₁-B₂-B₁ Referans Standartlarının Stok Çözeltileri

Dr. Ehrenstorfer GmbH'den 1 mL'lik amber renkli cam ampullerde, metanol içinde, 3.00 mg/L konsantrasyonunda temin edilen aflatoksin G₂, aflatoksin G₁, aflatoksin B₂ ve aflatoksin B₁ sertifikalı referans standartları stok çözeltileri olarak kullanılmıştır.

6.4.5.2 Aflatoksin G₂-G₁-B₂-B₁ Referans Standartlarının 1.Mix Ara Stok Çözeltisi (150 µg/L)

Aynı ayrı ampuller içerisinde metanolde çözünmüş olarak bulunan 3.00 mg/L konsantrasyondaki aflatoksin G₂, aflatoksin G₁, aflatoksin B₂ ve aflatoksin B₁ referans standart stok çözeltilerinin her birinden 1.0 mL'lik porsiyonlar alınarak 20 mL'lik amber renkli bir ölçülü balona aktarıldı. Balon hacmi metanol ile 20 mL'ye tamamlandı.

6.4.5.3 Aflatoksin G₂-G₁-B₂-B₁ Referans Standartlarının 2.Mix Ara Stok Çözeltisi (75 µg/L)

Aflatoksin G₂-G₁-B₂-B₁ referans standartlarının 1. mix ara stok çözeltisinden (150 µg/L) 5 mL'lik bir porsiyon 10 mL'lik amber renkli bir ölçülü balona alındı ve balonun hacmi metanol ile tamamlandı.

6.4.5.4 Aflatoksin G₂-G₁-B₂-B₁ Referans Standartlarının 3. Mix Ara Stok Çözeltisi (60 µg/L)

Aflatoksin G₂-G₁-B₂-B₁ referans standartlarının 1. mix ara stok çözeltisinden (150 µg/L) 10 mL'lik bir porsiyon 25 mL'lik amber renkli bir ölçülü balona alındı ve balonun hacmi su ile tamamlandı.

6.4.5.5 Aflatoksin G₂-G₁-B₂-B₁ Referans Standartlarının 4. Mix Ara Stok Çözeltisi (6 µg/L)

Aflatoksin G₂-G₁-B₂-B₁ referans standartlarının 3. mix ara stok çözeltisinden (60 µg/L) 1 mL'lik bir porsiyon 10 mL'lik amber renkli bir ölçülü balona alındı ve balonun hacmi seyreltme çözeltisi ile tamamlandı.

6.4.6 Aflatoksin G₂-G₁-B₂-B₁ Mix Referans Çalışma Çözeltilerinin Hazırlanması (0.36 µg/L, 0.72 µg/L, 1.2 µg/L, 1.5 µg/L, 2.4 µg/L ve 3.6 µg/L)

6.4.6.1 1.2 µg/L Konsantrasyonundaki Aflatoksin G₂-G₁-B₂-B₁ Mix Referans Çalışma Çözeltilerinin Hazırlanması

Aflatoksin G₂-G₁-B₂-B₁ referans standartlarının, madde 6.4.5.4'te belirtilen şekilde hazırllanmış 3. mix ara stok çözeltisinden (60 µg/L) 2.0 mL'lik bir porsiyon alınarak 100 mL'lik amber renkli ölçülü balona aktarıldı ve balon seyreltme çözeltisi ile hacmine tamamlandı.

6.4.6.2 1.5 µg/L Konsantrasyonundaki Aflatoksin G₂-G₁-B₂-B₁ Mix Referans Çalışma Çözeltilerinin Hazırlanması

Aflatoksin G₂-G₁-B₂-B₁ referans standartlarının, madde 6.4.5.4'te belirtilen şekilde hazırllanmış 3. mix ara stok çözeltisinden (60 µg/L) 5.0 mL'lik bir porsiyon alınarak 200 mL'lik amber renkli ölçülü balona aktarıldı ve balon seyreltme çözeltisi ile hacmine tamamlandı.

6.4.6.3 2.4 µg/L Konsantrasyonundaki Aflatoksin G₂-G₁-B₂-B₁ Mix Referans Çalışma Çözeltilerinin Hazırlanması

Aflatoksin G₂-G₁-B₂-B₁ referans standartlarının, madde 6.4.5.4'te belirtilen şekilde hazırllanmış 3. mix ara stok çözeltisinden (60 µg/L) 4.0 mL'lik bir porsiyon alınarak

100 mL'lik amber renkli ölçülü balona aktarıldı ve balon seyreltme çözeltisi ile hacimine tamamlandı.

6.4.6.4 3.6 µg/L Konsantrasyonundaki Aflatoksin G₂-G₁-B₂-B₁ Mix Referans Çalışma Çözeltisinin Hazırlanması

Aflatoksin G₂-G₁-B₂-B₁ referans standartlarının, madde 6.4.5.4'te belirtilen şekilde hazırlanmış 3. mix ara stok çözeltisinden (60 µg/L) 6.0 mL'lik bir porsiyon alınarak 100 mL'lik amber renkli ölçülü balona aktarıldı ve balon seyreltme çözeltisi ile hacimine tamamlandı.

6.4.6.5 0.36 µg/L Konsantrasyonundaki Aflatoksin G₂-G₁-B₂-B₁ Mix Referans Çalışma Çözeltisinin Hazırlanması

Aflatoksin G₂-G₁-B₂-B₁ referans standartlarının, madde 6.4.6.4'te belirtilen şekilde hazırlanmış, 3.6 µg/L aflatoksin G₂-G₁-B₂-B₁ içeren mix referans çalışma çözeltisinden 1.0 mL'lik bir porsiyon alınarak 10 mL'lik amber renkli ölçülü balona aktarıldı ve balon seyreltme çözeltisi ile hacimine tamamlandı.

6.4.6.6 0.72 µg/L Konsantrasyonundaki Aflatoksin G₂-G₁-B₂-B₁ Mix Referans Çalışma Çözeltisinin Hazırlanması

Aflatoksin G₂-G₁-B₂-B₁ referans standartlarının, madde 6.4.6.4'te belirtilen şekilde hazırlanmış, 3.6 µg/L aflatoksin G₂-G₁-B₂-B₁ içeren mix referans çalışma çözeltisinden 2.0 mL'lik bir porsiyon alınarak 10 mL'lik amber renkli ölçülü balona aktarıldı ve balon seyreltme çözeltisi ile hacimine tamamlandı.

6.4.7 Yerfistiği Örnek Çözeltisinin Hazırlanması

Aşağıdaki çalışmalar madde 6.2'de belirtilen laboratuar şartları altında yapılmıştır.

Yaklaşık 1.5 kg iç yerfistiği örneği iç piyasadan temin edildi ve ultraturrax blender'da porsiyonlar halinde öğütüldü. Öğütülen porsiyonlar karıştırılarak homojen hale getirildi. 50.0 g 'lık bir test örneği 0.001 g hassasiyetle 500 mL'lik şilifli erlene tartıldı. 5 g sodyum klorür, 300 mL ekstraksiyon çözeltisi ve 100 mL n-Hekzan ilave edildi. Karışım elde 30 saniye şiddetle, daha sonra ise 30 dakika mekanik çalkalayıcıda çalkalandı. n-Hekzan fazının ayrılması için beklandı. Alt faz kaba filtre kağıdından süzüldü. Süzüntünün ilk 20 mL'si atıldı. Kalan süzüntü amber renkli kapaklı bir cam şişeye alındı. Amber renkli cam şişeye aktarılan bu süzüntü örnek çözeltisi olarak kullanıldı.

6.5 İmmünoaffinite Kolonlarının Hazırlanması – Şartlanması

Buzdolabında saklanmakta olan immünoaffinite kolonları dolaptan çıkarıldı ve kolonların oda sıcaklığına gelmesi beklandı. Oda sıcaklığına gelen immünoaffinite kolonları rezervuara bağlandı. Kolonlardan 2-3 mL/dak akış hızıyla önce 10 mL su daha sonra ise 10 mL madde 6.4.1'de belirtildiği şekilde hazırlanmış fosfat tamponlu tuz çözeltisi ($\text{pH} = 7.4$) geçirildi. Kolon dolgu maddesi üzerinde yaklaşık 0.5 mL çözelti kalınca rezervuarın vanası kapatıldı.

6.6 Örnek Ekstraktının Temizlenmesi ve Aflatoksinlerin Elusyonu

Aşağıdaki çalışmalar madde 6.2'de belirtilen laboratuar şartları altında yapılmıştır.

6.6.1 Örnek Ekstraktının Temizlenmesi

Şartlanmış immünoaffinite kolonunun rezervuarına 60 mL fosfat tamponlu tuz çözeltisi ($\text{pH} = 7.4$) aktarıldı. Yerfistiği örnek çözeltisinden 10.0 mL'lik bir porsiyon alınarak rezervuardaki çözeltiye ilave edildi ve çözeltiler karıştırdı. Akış hızı 1 damla/saniye (~3 mL/dak) olacak şekilde rezervuardaki çözelti kolondan geçirildi eluat atıldı. Kolon 15 mL destile su ile yıkandı, eluat atıldı. Kolondan 15-20 saniye süreyle hava geçirilerek kolon kurutuldu.

6.6.2 Aflatoksinlerin Elusyonu

İmmünoaffinite kolonunun altına 5 mL'lik amber renkli bir ölçülü balon yerleştirildi. Kolondan 1 mL metanol geçirildi ve eluat toplandı. 1 dakika beklendikten sonra kolondan 1 mL daha metanol geçirildi ve eluat toplandı. Ölçülü balonun hacmi destile su ile 5 mL'ye tamamlandı. Çözelti $0.45 \mu\text{m}$ 'lik filtreden süzüldü. Böylece enjekte edilecek örnek çözeltisi elde edildi.

6.7 Yapılan Validasyon Çalışmalarının Kapsamı

Aşağıdaki çalışmaları madde 6.2'de belirtilen laboratuar şartları altında yapılmıştır.

6.7.1 Seçicilik Çalışmaları (Selectivity – Specificity)

6.7.1.1 İmmünoaffinite Kolonu Kullanımının Piklerin Çıkış Zamanları Üzerine Etkisinin İncelenmesi

$1.5 \mu\text{g/L}$ aflatoksin G₂-G₁-B₂-B₁ içeren mix referans çalışma çözeltisi immünoaffinite kolonundan geçirilmeden ve de geçirilerek birer kez sisteme enjekte edildi. İmmünoaffinite

kolonundan geçirilerek ve de geçirilmeden elde edilen enjeksiyon çözeltilerindeki aflatoksin G₂, G₁, B₂ ve B₁ piklerinin çıkış zamanları bulundu.

6.7.1.2 Matriksten (yerfistiği), Enjeksiyon Solventinden ve Mobil Fazdan Gelen İnterferansların Değerlendirilmesi

Matriksten (yerfistiği), enjeksiyon solventinden ve mobil fazdan gelen interferansların değerlendirilmesi için aşağıdaki çalışmalar yapıldı:

6.7.1.2.1 Matriksten (yerfistiği) Gelen İnterferansların Değerlendirilmesi

Aflatoksin G₂-G₁-B₂-B₁ içermeyen bir yerfistiği örneği ile 200 µL'lik bir enjeksiyon yapıldı. Yapılan enjeksiyona ait örnek kromatogramında, aflatoksin G₂-G₁-B₂-B₁ piklerinin çıkış zamanlarındaki yabancı pikler değerlendirildi.

6.7.1.2.2 Enjeksiyon Solventinden Gelen İnterferansların Değerlendirilmesi

Enjeksiyon solvent karışımı olarak kullanılan metanol:su (40:60) karışımından 200 µL sisteme enjekte edildi. Yapılan enjeksiyona ait örnek kromatogramında, aflatoksin G₂-G₁-B₂-B₁ piklerinin çıkış zamanlarındaki yabancı pikler değerlendirildi.

6.7.1.2.3 Mobil Fazdan Gelen İnterferansların Değerlendirilmesi

Madde 6.3'te belirtilen şekilde hazırlanmış mobil fazdan 200 µL sisteme enjekte edildi. Yapılan enjeksiyona ait örnek kromatogramında, aflatoksin G₂-G₁-B₂-B₁ piklerinin çıkış zamanlarındaki yabancı pikler değerlendirildi.

6.7.2 Doğruluk ve Geri Kazanım Çalışmaları (Accuracy and Recovery)

Yerfistiğında bulunabilecek ortalama aflatoksin G₂-G₁-B₂-B₁ konsantrasyonu 4.8 µg/L olarak kabul edildi. 4.8 µg/L'lik konsantrasyon %100'lük konsantrasyon değerdir ve buna bağlı olarak %50'lik değer 2.4 µg/L ve %150'lik değer ise 7.2 µg/L olarak kabul edildi.

Yapılan çalışmalar ile gerçek bir geri kazanım değerlendirme yapıldı ve mevcut kromatografik şartlar altında yerfistiği matriksinin analiz üzerindeki etkisi incelendi.

Örnekler ve paralelleri ile yapılan test çalışmaları sonucunda elde edilen aflatoksin G₂-G₁-B₂-B₁ miktarları, laboratuar şartları altında valide edilen test metodunun doğruluğunu belirledi.

%50, %100 ve %150'lik konsantrasyon değerlerinde aflatoksin G₂-G₁-B₂-B₁ içerecek şekilde kirletilmiş örnekler ile aşağıdaki çalışmalar yapıldı. Her konsantrasyon değeri için (% 50, % 100 ve % 150) iki ayrı günde ikişer paralel olmak üzere toplam dört numune hazırlandı.

6.7.2.1 % 50'lik Konsantrasyon Değerinde (2.4 µg/L) Aflatoksin G₂-G₁-B₂-B₁ İçerecek Örneklerin Hazırlanması

Aflatoksin G₂-G₁-B₂-B₁ içermediği bilinen öğütülmüş yerfistiği örneğinden 1mg hassasiyetle 50g'lik iki porsiyon tartıldı. Her bir örneğe madde 6.4.5.4'te belirtilen şekilde hazırlanan aflatoksin G₂-G₁-B₂-B₁ referans standartlarının 3. mix ara stok çözeltisi'nden (60 µg/L) 2.0 mL ilave edilerek örnek kirletildi. Kirletilmiş örneğe 5 g sodyum klorür, 300 mL ekstraksiyon çözeltisi ve 100 mL n-Hekzan ilave edildi. Karışım elde 30 saniye şiddetle, daha sonra ise 30 dakika mekanik çalkalayıcıda çalkalandı. n-Hekzan fazının ayrılması için beklandı. Alt faz kaba filtre kağıdından süzüldü. Süzüntünün ilk 20 mL'si atıldı. Bu şekilde elde edilen çözeltiye madde 6.6.1 ve madde 6.6.2'de belirtilen işlemler uygulandı. Elde edilen her bir örnek çözeltisi iki defa sisteme enjekte edildi.

2.4 µg/L aflatoksin G₂-G₁-B₂-B₁ içerecek şekilde kirletilmiş olan örneğin enjeksiyon çözeltisi 0.8 µg/L aflatoksin G₂-G₁-B₂-B₁ içermektedir.

6.7.2.2 %100'lük Konsantrasyon Değerinde (4.8 µg/L) Aflatoksin G₂-G₁-B₂-B₁ İçerecek Örneklerin Hazırlanması

Aflatoksin G₂-G₁-B₂-B₁ içermediği bilinen öğütülmüş yerfistiği örneğinden 1mg hassasiyetle 50g'lik iki porsiyon tartıldı. Her bir örneğe madde 6.4.5.4'te belirtilen şekilde hazırlanan aflatoksin G₂-G₁-B₂-B₁ referans standartlarının 3. mix ara stok çözeltisi'nden (60 µg/L) 4.0 mL ilave edilerek örnek kirletildi. Kirletilmiş örneğe 5 g sodyum klorür, 300 mL ekstraksiyon çözeltisi ve 100 mL n-Hekzan ilave edildi. Karışım elde 30 saniye şiddetle, daha sonra ise 30 dakika mekanik çalkalayıcıda çalkalandı. n-Hekzan fazının ayrılması için beklandı. Alt faz kaba filtre kağıdından süzüldü. Süzüntünün ilk 20 mL'si atıldı. Bu şekilde elde edilen çözeltiye madde 6.6.1 ve madde 6.6.2'de belirtilen işlemler uygulandı. Elde edilen her bir örnek çözeltisi iki defa sisteme enjekte edildi.

4.8 µg/L aflatoksin G₂-G₁-B₂-B₁ içerecek şekilde kirletilmiş olan örneğin enjeksiyon çözeltisi 1.6 µg/L aflatoksin G₂-G₁-B₂-B₁ içermektedir.

6.7.2.3 % 150'lik Konsantrasyon Değerinde (7.2 µg/L) Aflatoksin G₂-G₁-B₂-B₁ İçerecek Örneklerin Hazırlanması

Aflatoksin G₂-G₁-B₂-B₁ içermediği bilinen öğütülmüş yerfistiği örneğinden 1mg hassasiyetle 50g'lık iki porsiyon tartıldı. Her bir örneg'e madde 6.4.5.4'te belirtilen şekilde hazırlanan aflatoksin G₂-G₁-B₂-B₁ referans standartlarının 3. mix ara stok çözeltisi'nden (60 µg/L) 6.0 mL ilave edilerek örnek kirletildi. Kirletilmiş örneg'e 5 g sodyum klorür, 300 mL ekstraksiyon çözeltisi ve 100 mL n-Hekzan ilave edildi. Karışım elde 30 saniye şiddetle, daha sonra ise 30 dakika mekanik çalkalayıcıda çalkalandı. n-Hekzan fazının ayrılması için beklendi. Alt faz kaba filtre kağıdından süzüldü. Süzüntünün ilk 20 mL'si atıldı. Bu şekilde elde edilen çözeltiye madde 6.6.1 ve madde 6.6.2'de belirtilen işlemler uygulandı. Elde edilen her bir örnek çözeltisi iki defa sisteme enjekte edildi.

7.2 µg/L aflatoksin G₂-G₁-B₂-B₁ içerecek şekilde kirletilmiş olan örneg'in enjeksiyon çözeltisi 2.4 µg/L aflatoksin G₂-G₁-B₂-B₁ içermektedir.

6.7.3 Kesinlik (Precision)

Kesinlik iki alt bölüm halinde incelendi. Bu bölümler sistemin tekrarlanabilirliği ve de metodun tekrarlanabilirliğidir.

Kesinlik, standart sapma (SD) ve % relatif standart sapma (%RSD) cinsinden ifade edilmiştir.

6.7.3.1 Metod Tekrarlanabilirliği

Metodun tekrarlanabilirliği; aynı analitik şartlar altında yapılan belirli bir sayıdaki ölçümün sonucunda elde edilen aflatoksin G₂-G₁-B₂-B₁ miktarlarının birbirlerine yakınlığının ölçüsüdür.

Metodun tekrarlanabilirliğini kanıtlamak için, madde 6.7.2.2'de belirtildiği gibi, 4.8 µg/L aflatoksin G₂-G₁-B₂-B₁ içerecek şekilde kirletilmiş örnekten elde edilen çözelti, ard arda 7 defa sisteme enjekte edildi.

6.7.3.2 Cihaz Tekrarlanabilirliği

Cihazın tekrarlanabilirliği ise yapılan enjeksiyonlar sonucu elde edilen aflatoksin piklerinin çıkış zamanlarının birbirine yakınlığının ölçüsüdür.

Cihazın tekrarlanabilirliğini kanıtlamak için, madde 6.7.3.1'de belirtilen şekilde yapılan enjeksiyonlar dikkate alındı.

6.7.4 Sistem Uygunluk Çalışmaları (System Suitability Studies)

Sistem uygunluk çalışmaları sırasında madde 6.4.6.2'de belirtilen şekilde hazırlanmış, 1.5 µg/L aflatoksin G₂-G₁-B₂-B₁ içeren, mix referans çalışma çözeltisi sisteme ard arda 11 kere enjekte edildi. Sonuçlar alikonma zamanı, pik alanı, pik yüksekliği, kapasite faktörü, rezolüsyon ve de teorik plaka sayısı açısından incelendi.

6.7.5 Tayin Limiti Çalışmaları (LoD)

Aflatoksin G₂-G₁-B₂-B₁ içermediği bilinen öğütülmüş yerfistiği örneğinden 1 mg hassasiyetle 50 g tartıldı. Bu örneğe, madde 6.4.5.5'te belirtilen şekilde hazırlanan aflatoksin G₂-G₁-B₂-B₁ referans standartlarının 4. mix ara stok çözeltisinden (6 µg/L) 9.0 mL ilave edilerek örnek kirletildi. Kirletilmiş örneğe 5 g sodyum klorür, 300 mL ekstraksiyon çözeltisi ve 100 mL n-Hekzan ilave edildi. Karışım elde 30 saniye süreyle şiddetle, daha sonra ise 30 dakika mekanik çalkalayıcıda çalkalandı. n-Hekzan fazının ayrılması için beklandı. Alt faz kaba filtre kağıdından süzüldü. Süzüntünün ilk 20 mL'si atıldı. Bu şekilde elde edilen çözeltiye madde 6.6.1 ve madde 6.6.2'de belirtilen işlemler uygulandı. Böylece 0.36 µg/L aflatoksin G₂-G₁-B₂-B₁ içeren bir örnek enjeksiyon çözeltisi elde edildi. Hazırlanan bu örnek çözeltisi ard arda 12 defa sisteme enjekte edildi. Bulunan aflatoksin G₂-G₁-B₂-B₁ miktarlarının standart sapması hesaplandı. Standart sapmanın 3 katı tayin limiti olarak kabul edildi.

6.7.6 Ölçüm Limiti Çalışmaları (LoQ)

Madde 6.7.5'te yapılan çalışmalar sonucunda elde edilen standart sapma değerinin 10 katı ölçüm limiti olarak kabul edildi.

6.7.7 Doğrusallık ve Aralık Çalışmaları

Madde 6.4.6'da belirtilen şekilde hazırlanan, 0.36 µg/L, 0.72 µg/L, 1.2 µg/L, 1.5 µg/L, 2.4 µg/L ve 3.6 µg/L konsantrasyonlarındaki aflatoksin G₂-G₁-B₂-B₁ mix referans çalışma çözeltileri kullanılarak enjeksiyonlar yapıldı. Bu enjeksiyonlardan elde edilen sonuçlar kullanılarak kalibrasyon eğrileri çizildi ve kalibrasyon eğrilerinin bağıntı katsayıları (R^2) hesaplandı.

6.7.8 Stabilite Çalışmaları

Aflatoksin G₂-G₁-B₂-B₁ içermediği bilinen öğütülmüş yerfistiği örneğinden 1mg hassasiyetle 50g tartıldı. Örneğe, madde 6.4.5.5'te belirtilen şekilde hazırlanan aflatoksin G₂-G₁-B₂-B₁ referans standartlarının 3. mix ara stok çözeltisinden (60 µg/L) 4.0 mL ilave edilerek örnek

kirletildi. Kirletilmiş örneğe 5 g sodyum klorür, 300 mL ekstraksiyon çözeltisi ve 100 mL n-Hekzan ilave edildi. Karışım elde 30 saniye süreyle şiddetle, daha sonra ise 30 dakika mekanik çalkalayıcıda çalkalandı. n-Hekzan fazının ayrılması için beklandı. Alt faz kaba filtre kağıdından süzüldü. Süzüntünün ilk 20 mL'si atıldı. Bu şekilde elde edilen çözeltiye madde 6.6.1 ve madde 6.6.2'de belirtilen işlemler uygulandı. Bu şekilde hazırlanan 4.8 µg/L konsantrasyonundaki örnek çözeltisi ve de madde 6.4.6.2'de belirtilen şekilde hazırlanmış 1.5 µg/L konsantrasyonundaki aflatoksin G₂-G₁-B₂-B₁ mix referans çalışma çözeltisi, hem renksiz hem de amber renkli viallere alındı. Vialerin bir seti fluoresans lamba ile aydınlatılan laboratuar ortamında bekletildi, vialerin diğer seti ise buzdolabında bekletildi ve her iki vial setinden belirli aralıklarla enjeksiyonlar yapıldı. Belirtilen koşulların piklerin çıkış zamanını ve aflatoksin miktarlarını nasıl etkilediği incelendi.

7. SONUÇLAR

7.1 Seçicilik Çalışmaları (Selectivity – Specificity)

7.1.1 İmmünoaffinite Kolonu Kullanımının Piklerin Çıkış Zamanları Üzerine Etkisinin İncelenmesi

Seçicilik çalışmaları sırasında, immünoaffinite kolonunun piklerin çıkış zamanları üzerine etkisini incelemek amacıyla, madde 6.7.1.1'de belirtilen mix referans çalışma çözeltisi, immünoaffinite kolonundan geçirilerek ve de geçirilmeden sisteme enjekte edildi. Yapılan enjeksiyonlar sonucunda; her iki çalışmadan elde edilen piklerin çıkış zamanları arasında kayda değer bir fark olmadığı görüldü (Çizelge 7.1).

Çizelge 7.1 İmmünoaffinite kolonunun aflatoksin G₂-G₁-B₂-B₁ piklerinin çıkış zamanlarına etkisi

Aflatoksinler	İmmünoaffinite Kolonundan Geçirilmeden	İmmünoaffinite Kolonundan Geçirildikten Sonra
	Çıkış Zamanı (dak)	Çıkış Zamanı (dak)
G ₂	9.677	9.682
G ₁	11.938	11.930
B ₂	13.337	13.362
B ₁	16.768	16.782

7.1.2 Matriksten (yerfistiği), Enjeksiyon Solventinden ve Mobil Fazdan Gelen Interferansların Değerlendirilmesi

Seçicilik çalışmaları sırasında matriksten (yerfistiği), enjeksiyon solventinden ve mobil fazdan gelen interferansların değerlendirilmesi için yapılan çalışmalar sonucunda:

7.1.2.1 Matriksten (yerfistiği) Gelen Interferansların Değerlendirilmesi

Aflatoksin G₂-G₁-B₂-B₁ içermeyen bir yerfistiği örneği ile yapılan 200 µL'lik enjeksiyon sonucunda bir örnek kromatogramı elde edildi. Örnek olarak kullanılan yerfistiğine ait bu kromatogramda aflatoksin G₂-G₁-B₂-B₁ piklerinin çıkış zamanlarında herhangi bir yabancı pik gözlenmedi. Böylece yerfistiği matriksinin aflatoksin G₂-G₁-B₂-B₁ miktarlarını etkilemediği kanıtlanmış oldu.

7.1.2.2 Enjeksiyon Solventinden Gelen İnterferansların Değerlendirilmesi

Enjeksiyon solvent karışımı olarak kullanılan metanol:su (40:60) karışımından yapılan 200 μL 'lik enjeksiyona ait örnek kromatogramında, aflatoksin G₂-G₁-B₂-B₁ piklerinin çıkış zamanlarında herhangi bir yabancı pik gözlenmedi. Böylece enjeksiyon solventinin aflatoksin G₂-G₁-B₂-B₁ miktarlarını etkilemediği kanıtlanmış oldu.

7.1.2.3 Mobil Fazdan Gelen İnterferansların Değerlendirilmesi

Kullanılan mobil fazdan (bkz. madde 6.3) yapılan 200 μL 'lik enjeksiyona ait örnek kromatogramında, aflatoksin G₂-G₁-B₂-B₁ piklerinin çıkış zamanlarında herhangi bir yabancı pik gözlenmedi. Böylece mobil fazın aflatoksin G₂-G₁-B₂-B₁ miktarlarını etkilemediği kanıtlanmış oldu.

7.2 Doğruluk ve Geri Kazanım Çalışmaları (Accuracy and Recovery)

Yapılan çalışmalarda; % geri kazanım hesapları için kullanılan denklem aşağıda verilmiştir.

$$\% \text{ Geri Kazanım} = \frac{\text{Bulunan konsantrasyon}}{\text{Teorik konsantrasyon}} \times 100 \quad (7.1)$$

7.2.1 %50'lik Konsantrasyon Değerinde (2.4 $\mu\text{g/L}$) Aflatoksin G₂-G₁-B₂-B₁ İçeren Örneklerle Yapılan Çalışmalar

- i) %50'lik konsantrasyon değerinde aflatoksin G₂-G₁-B₂-B₁ içerecek şekilde ilk gün hazırlanan örneklerle yapılan enjeksiyonların sonuçları Çizelge 7.2'de belirtilmiştir.

Çizelge 7.2 2.4 $\mu\text{g/L}$ aflatoksin G₂-G₁-B₂-B₁ içecek şekilde ilk gün hazırlanan iki paralel örneğe ait sonuçlar.

Örnekler	Aflatoksinlerin % Geri Kazanımı			
	G ₂	G ₁	B ₂	B ₁
Kirletilmiş Örnek No: 1	87.08	103.33	105.42	107.50
Kirletilmiş Örnek No: 2	90.00	107.50	105.80	110.80
Ortalama % Geri Kazanım	88.54	105.42	105.61	109.15

ii) %50'lik konsantrasyon değerinde aflatoksin G₂-G₁-B₂-B₁ içerecek şekilde ikinci gün hazırlanan örneklerle yapılan enjeksiyonların sonuçları çizelge 7.3'te belirtilmiştir.

Çizelge 7.3 2.4 µg/L aflatoksin G₂-G₁-B₂-B₁ içeceklde ikinci gün hazırlanan iki paralel örneğe ait sonuçlar

Örnekler	Aflatoksinlerin % Geri Kazanımı			
	G ₂	G ₁	B ₂	B ₁
Kirletilmiş Örnek No: 1	84.71	100.40	103.15	111.38
Kirletilmiş Örnek No: 2	91.14	104.95	105.01	106.72
Ortalama % Geri Kazanım	87.93	102.68	104.08	109.05

7.2.2 %100'lük Konsantrasyon Değerinde (4.8 µg/L) Aflatoksin G₂-G₁-B₂-B₁ İçeren Örneklerle Yapılan Çalışmalar

i) %100'lük konsantrasyon değerinde aflatoksin G₂-G₁-B₂-B₁ içerecek şekilde ilk gün hazırlanan örneklerle yapılan enjeksiyonların sonuçları çizelge 7.4'te belirtilmiştir.

Çizelge 7.4 4.8 µg/L aflatoksin G₂-G₁-B₂-B₁ içeceklde ilk gün hazırlanan iki paralel örneğe ait sonuçlar

Örnekler	Aflatoksinlerin % Geri Kazanımı			
	G ₂	G ₁	B ₂	B ₁
Kirletilmiş Örnek No: 1	96.71	103.60	102.12	103.16
Kirletilmiş Örnek No: 2	97.41	103.36	99.79	100.55
Ortalama % Geri Kazanım	97.06	103.48	100.96	101.86

ii) %100'lük konsantrasyon değerinde aflatoksin G₂-G₁-B₂-B₁ içerecek şekilde ikinci gün hazırlanan örneklerle yapılan enjeksiyonların sonuçları çizelge 7.5'te belirtilmiştir.

Çizelge 7.5 4.8 µg/L aflatoksin G₂-G₁-B₂-B₁ içecek şekilde ikinci gün hazırlanan iki paralel örneğe ait sonuçlar

Örnekler	Aflatoksinlerin % Geri Kazanımı			
	G ₂	G ₁	B ₂	B ₁
Kirletilmiş Örnek No: 1	94.29	99.98	97.89	97.99
Kirletilmiş Örnek No: 2	82.08	87.58	83.97	83.52
Ortalama % Geri Kazanım	88.19	93.78	90.93	90.76

7.2.3 %150'lik Konsantrasyon Değerinde (7.2 µg/L) Aflatoksin G₂-G₁-B₂-B₁ İçeren Örneklerle Yapılan Çalışmalar

i) %150'lik konsantrasyon değerinde aflatoksin G₂-G₁-B₂-B₁ içerecek şekilde ilk gün hazırlanan örneklerle yapılan enjeksiyonların sonuçları çizelge 7.6'da belirtilmiştir.

Çizelge 7.6 7.2 µg/L aflatoksin G₂-G₁-B₂-B₁ içecek şekilde ilk gün hazırlanan iki paralel örneğe ait sonuçlar

Örnekler	Aflatoksinlerin % Geri Kazanımı			
	G ₂	G ₁	B ₂	B ₁
Kirletilmiş Örnek No: 1	93.33	97.58	96.59	96.61
Kirletilmiş Örnek No: 2	92.32	96.65	94.52	95.67
Ortalama % Geri Kazanım	92.83	97.12	95.55	96.14

ii) % 150'lik konsantrasyon değerinde aflatoksin G₂-G₁-B₂-B₁ içerecek şekilde ikinci gün hazırlanan örneklerle yapılan enjeksiyonların sonuçları çizelge 7.7'de belirtilmiştir.

Çizelge 7.7 7.2 µg/L aflatoksin G₂-G₁-B₂-B₁ içeren iki paralel örneğin ikinci gün yapılan çalışmalarına ait sonuçlar

Örnekler	Aflatoksinlerin % Geri Kazanımı			
	G ₂	G ₁	B ₂	B ₁
Kirletilmiş Örnek No: 1	97.55	100.93	102.47	99.12
Kirletilmiş Örnek No: 2	93.67	97.52	97.57	98.20
Ortalama % Geri Kazanım	95.61	99.23	100.02	98.66

Birinci ve ikinci gün gerçekleştirilen 4 analize ait ortalama % geri kazanım değerleri Çizelge 7.8'de belirtilmiştir.

Çizelge 7.8 Birinci ve ikinci gün yapılan çalışmalarдан elde edilen sonuçların ortalaması

Örnekler	Aflatoksinlerin Ortalama % Geri Kazanımı				
	G ₂	G ₁	B ₂	B ₁	TOTAL
2.4 µg/L aflatoksin içeren örnek	88.24	104.05	104.85	109.10	101.59
4.8 µg/L aflatoksin içeren örnek	92.63	98.63	95.95	96.31	92.56
7.2 µg/L aflatoksin içeren örnek	94.22	98.18	97.79	97.40	97.71

7.3 Kesinlik (Precision)

Madde 6.7.3.1 ve madde 6.7.3.2'de belirtilen çalışmalar sonucunda elde edilen veriler Çizelge 7.9 ve Çizelge 7.10'da belirtilmiştir. Elde edilen bu sonuçlar hem metodun hem de sistemin tekrarlanabilirliğini kanıtladı.

Çizelge 7.9 Aflatoksin G₂-G₁-B₂-B₁ piklerinin çıkış zamanları

Enjeksiyon	Çıkış Zamanı (dak)			
	G ₂	G ₁	B ₂	B ₁
1	9.352	11.408	12.772	15.898
2	9.323	11.377	12.743	15.858
3	9.323	11.367	12.737	15.825
4	9.303	11.347	12.713	15.835
5	9.425	11.358	12.733	15.872
6	9.383	11.520	12.887	16.067
7	9.345	11.458	12.832	16.010
Ortalama	9.345	11.405	12.774	15.909
SD	0.042	0.058	0.058	0.086
% RSD	0.452	0.513	0.455	0.540

Çizelge 7.10 Aflatoksin G₂-G₁-B₂-B₁ piklerinin alanları

Enjeksiyon	Pik Alanları			
	G ₂	G ₁	B ₂	B ₁
1	75273	71845	132630	76745
2	76566	71692	130544	76672
3	78537	73692	132701	76011
4	76387	74065	129267	75312
5	74995	70464	126654	72914
6	78975	73545	137086	78212
7	76493	71671	133282	77536
Ortalama	76746	72424.94	131737.7	76200.84
SD	1507.6	1343.94	3318.8	1730.84
% RSD	1.96	1.86	2.52	2.27

7.4 Sistem Uygunluk Çalışmaları (System Suitability Studies)

Madde 6.7.4'te belirtilen şekilde 11 enjeksiyon yapıldı. Yapılan çalışma ile aflatoksin G₂-G₁-B₂-B₁ referans standartlarına ait piklerin çıkış zamanlarının, alanlarının, yüksekliklerinin tekrarlanabilir olduğu ispatlandı. Piklere ait bu özelliklerin tekrarlanabilirliği sistemin yapılan çalışma için uygun olduğunu kanıtladı. Elde edilen sonuçlar Çizelge 7.11, Çizelge 7.12, Çizelge 7.13 ve Çizelge 7.14'te gösterilmiştir.

Çizelge 7.11 Aflatoksin G₂ pikinin alikonma zamanı, alanı, yüksekliği ve bulunan kapasite faktörü, rezolüsyonu ve de teorik plaka sayısı

Enjeksiyon	Alikonma Zamanı (dak)	Pik Alanı	Pik Yüksekliği (mAU)	Kapasite Faktörü	Rezolüsyon	Teorik Plaka Sayısı (N)
1	9.802	102527	4744	3.90083	0.000	4692
2	9.778	104936	4738	3.88917	0.000	4629
3	9.803	100990	4670	3.90167	0.000	4752
4	9.788	102938	4701	3.89417	0.000	4514
5	9.788	99926	4693	3.89417	0.000	4594
6	9.782	99638	4553	3.89083	0.000	4697
7	9.797	103566	4651	3.89833	0.000	4693
8	9.803	100243	4578	3.90167	0.000	4652
9	9.780	101574	4729	3.89000	0.000	4768
10	9.697	101914	4671	3.84833	0.000	4648
11	9.670	100126	4658	3.83500	0.000	4550
Ortalama	9.772	101670.73	4671.45	3.88583	0.000	4653.545
SD	0.04	1694.87	61.41	0.02	0.00	78.80
% RSD	0.44	1.67	1.31	0.58	0.00	1.69

Çizelge 7.12 Aflatoksin G₁ pikinin alikonma zamanı, alanı, yüksekliği ve bulunan kapasite faktörü, rezolüsyonu ve de teorik plaka sayısı

Enjeksiyon	Alikonma Zamanı (dak)	Pik Alanı	Pik Yüksekliği (mAU)	Kapasite Faktörü	Rezolüsyon	Teorik Plaka Sayısı (N)
1	12.043	94450	3957	5.02167	3.71763	5781
2	12.027	95103	3951	5.01333	3.72983	5818
3	12.045	95120	3973	5.02250	3.73745	5836
4	12.037	96079	3889	5.01833	3.69517	5765
5	12.023	92350	3861	5.01167	3.7017	5830
6	12.038	96325	3904	5.01917	3.72422	5698
7	12.033	95035	3884	5.01667	3.64345	5388
8	12.052	94502	3847	5.02583	3.66166	5448
9	12.017	95151	3946	5.00833	3.68694	5524
10	11.843	93902	3940	4.94667	3.66511	5706
11	11.858	94335	3932	4.92917	3.58556	5372
Ortalama	12.006	94459.27	3916.73	5.00303	3.68625	5651.455
SD	0.063	1074.82	41.91	0.03	0.05	182.66
% RSD	0.52	1.13	1.07	0.66	1.22	3.23

Çizelge 7.13 Aflatoksin B₂ pikinin alikonma zamanı, alanı, yüksekliği ve bulunan kapasite faktörü, rezolüsyonu ve de teorik plaka sayısı

Enjeksiyon	Alikonma Zamani (dak)	Pik Alani	Pik Yüksekliği (mAU)	Kapasite Faktörü	Rezolüsyon	Teorik Plaka Sayısı (N)
1	13.462	151832	6369	5.73083	2.2451	7307
2	13.450	150227	6300	5.72500	2.25718	7282
3	13.470	149417	6274	5.73500	2.25998	7306
4	13.465	152828	6289	5.73250	2.24762	7152
5	13.458	151927	6400	5.72917	2.27773	7273
6	13.462	151917	6316	5.73083	2.23761	7207
7	13.447	152438	6347	5.72333	2.19057	7183
8	13.473	150753	6266	5.73667	2.21475	7301
9	13.433	146582	6292	5.71667	2.22291	7324
10	13.298	144319	6160	5.64917	2.22534	7062
11	13.253	147651	6241	5.62667	2.18885	7138
Ortalama	13.425	149990.1	6495.82	5.71235	2.23324	7230.455
SD	0.072	2740.76	64.91	0.04	0.03	86.97
% RSD	0.53	1.83	1.03	0.66	1.25	1.20

Çizelge 7.14 Aflatoksin B₁ pikinin alikonma zamanı, alanı, yüksekliği ve bulunan kapasite faktörü, rezolüsyonu ve teorik plaka sayısı

Enjeksiyon	Alikonma Zamanı (dak)	Pik Alanı	Pik Yüksekliği (mAU)	Kapasite Faktörü	Rezolüsyon	Teorik Plaka Sayısı (N)
1	16.873	88622	3258	7.43667	5.05585	8795
2	16.863	86681	3250	7.43167	5.09293	9027
3	16.877	85553	3207	7.43833	5.06215	8900
4	16.893	86507	3229	7.44667	5.08329	9007
5	16.870	86772	3273	7.43500	5.11351	9210
6	16.857	86635	3214	7.42833	5.02424	8839
7	16.858	87779	3277	7.42917	5.11979	9331
8	16.880	88554	3227	7.44000	5.07210	8978
9	16.630	84931	3216	7.41500	5.10561	9178
10	16.567	81619	3117	7.31500	4.99032	8972
11	16.818	81878	3168	7.28333	4.92626	8525
Ortalama	16.818	85957.36	3221.45	7.40902	5.05873	8978.364
SD	0.106	23.6138	46.95	0.06	0.06	220.41
% RSD	0.63	2.75	1.46	0.75	1.16	2.45

7.5 Tayin Limiti Çalışmaları (LoD)

Madde 6.7.5'te belirtilen şekilde hazırlanan, 0.36 µg/L konsantrasyonundaki aflatoksin G₂-G₁-B₂-B₁ örnek çözeltisi sisteme 12 defa enjekte edildi. Bulunan aflatoksin G₂-G₁-B₂-B₁ miktarlarının standart sapması hesaplandı. Standart sapmanın 3 katı tayin limiti olarak kabul edildi.

Çizelge 7.15 Yerfistığında aflatoksin G₂-G₁-B₂-B₁ için tayin limitleri

	Aflatoksinler			
	G ₂	G ₁	B ₂	B ₁
Ard arda 12 miktar tayini için standart sapma	0.02	0.02	0.02	0.03
Tayin Limiti (µg/L)	0.06	0.06	0.06	0.09

7.6 Ölçüm Limiti Çalışmaları (LoQ)

Madde 6.7.5'te yapılan çalışmalar sonucunda elde edilen standart sapma değerinin 10 katı ölçüm limiti olarak kabul edildi. Aflatoksin G₂-G₁-B₂-B₁ için hesaplanan ölçüm limitleri Çizelge 7.16'da belirtilmiştir.

Çizelge 7.16 Yerfistığında aflatoksin G₂-G₁-B₂-B₁ için ölçüm limitleri

	Aflatoksinler			
	G ₂	G ₁	B ₂	B ₁
Ard arda 12 miktar tayini için standart sapma	0.02	0.02	0.02	0.03
Tayin Limiti (µg/L)	0.20	0.20	0.20	0.30

7.7 Doğrusallık ve Aralık Çalışmaları

Madde 6.4.6'da belirtildiği şekilde 0.36 µg/L, 0.72 µg/L, 1.2 µg/L, 1.5 µg/L, 2.4 µg/L ve 3.6 µg/L konsantrasyonlarında hazırlanan aflatoksin G₂-G₁-B₂-B₁ mix referans çalışma çözeltileri kullanılarak her bir konsantrasyon değeri için 5 enjeksiyon yapıldı. Bu

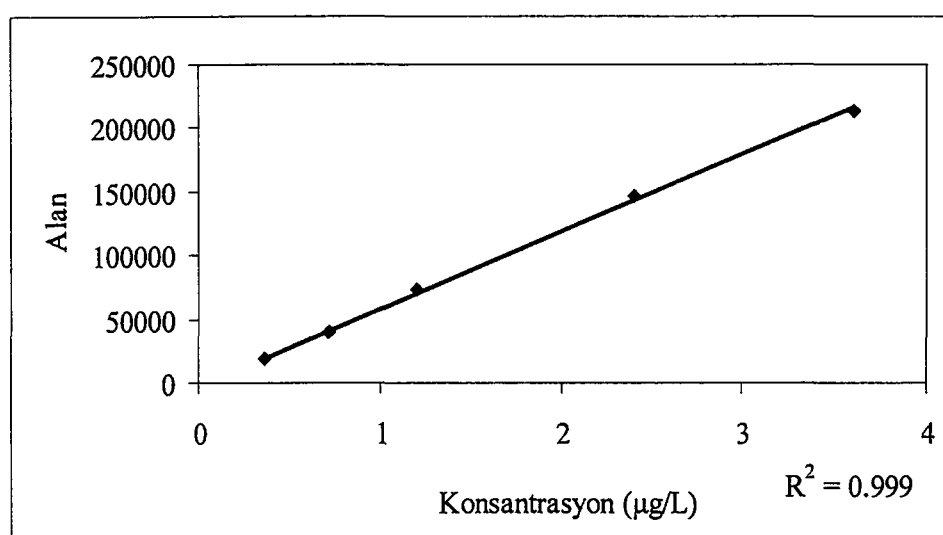
enjeksiyonlardan elde edilen sonuçlar kullanılarak kalibrasyon eğrileri çizildi ve kalibrasyon eğrilerinin bağıntı katsayıları (R^2) hesaplandı.

Bağıntı katsayısının (R^2) minimum 0.995 değerinde olması gerekmektedir.

Her bir aflatoksin için hesaplanan bağıntı katsayıları yukarıda belirtilen R^2 koşulunu yerine getirmektedir.

Çizelge 7.17 Aflatoksin G₂ piki için elde edilen alan değerleri

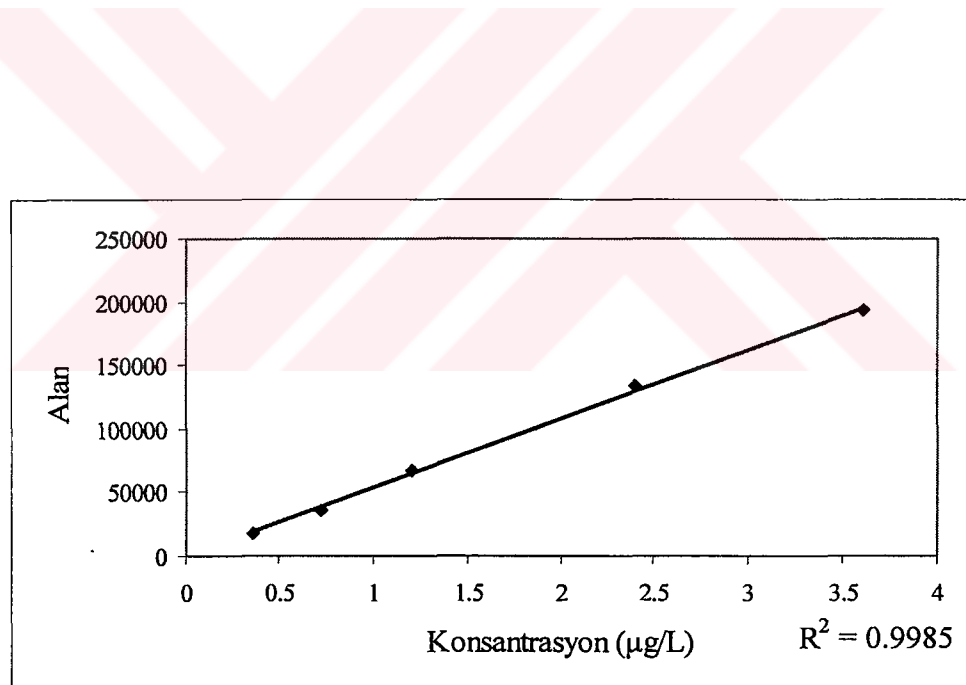
Alanlar	Konsantrasyonlar ($\mu\text{g/L}$)				
	0.36	0.72	1.2	2.4	3.6
1	21292	40410	74669	147485	214358
2	18495	39324	72921	146168	210825
3	18440	39530	70697	144598	215877
4	17623	38655	73444	145978	213940
5	17448	37624	71214	147604	212507
Ortalama	18659.6	39108.6	72589	146366.6	213501.4



Şekil 7.1 Aflatoksin G₂'ye ait doğrusallık grafiği

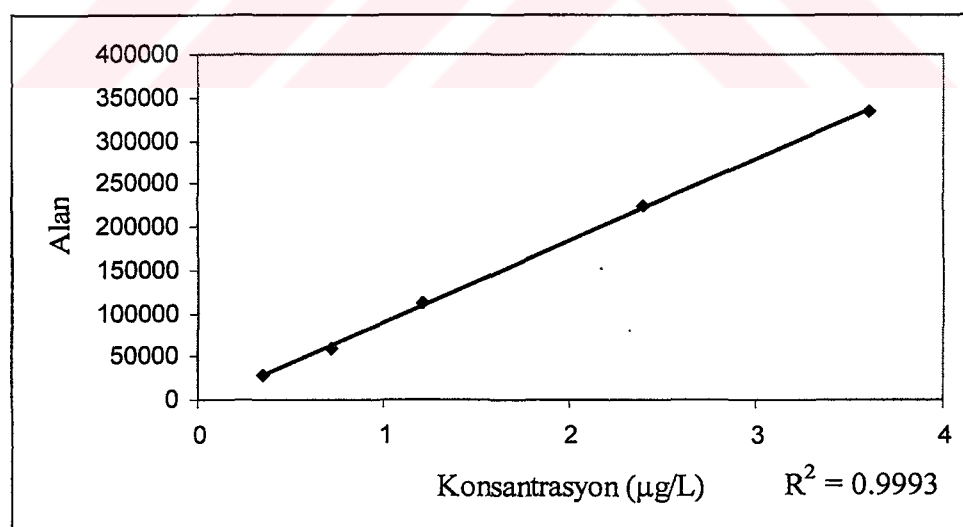
Çizelge 7.18 Aflatoksin G₁ piki için elde edilen alan değerleri

Alanlar	Konsantrasyonlar ($\mu\text{g/L}$)				
	0.36	0.72	1.2	2.4	3.6
1	19296	36869	66663	132679	196377
2	18231	36560	68145	134088	192293
3	18803	35255	67512	133355	193900
4	16991	38516	66312	134159	191123
5	17621	34813	68152	134744	191778
Ortalama	18188.4	36402.6	67356.8	133805	193094.2

Şekil 7.2 Aflatoksin G₁'e ait doğrusallık grafiği

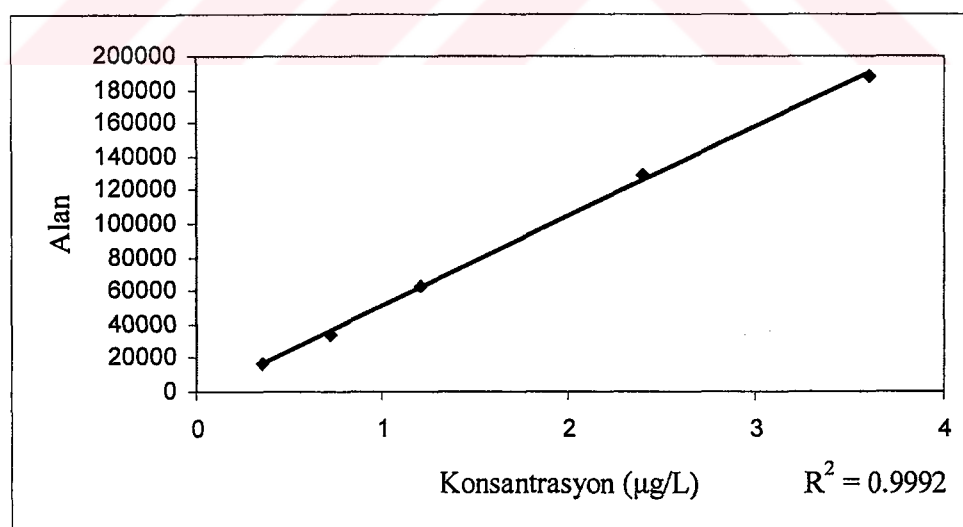
Çizelge 7.19 Aflatoksin B₂ pik için elde edilen alan değerleri

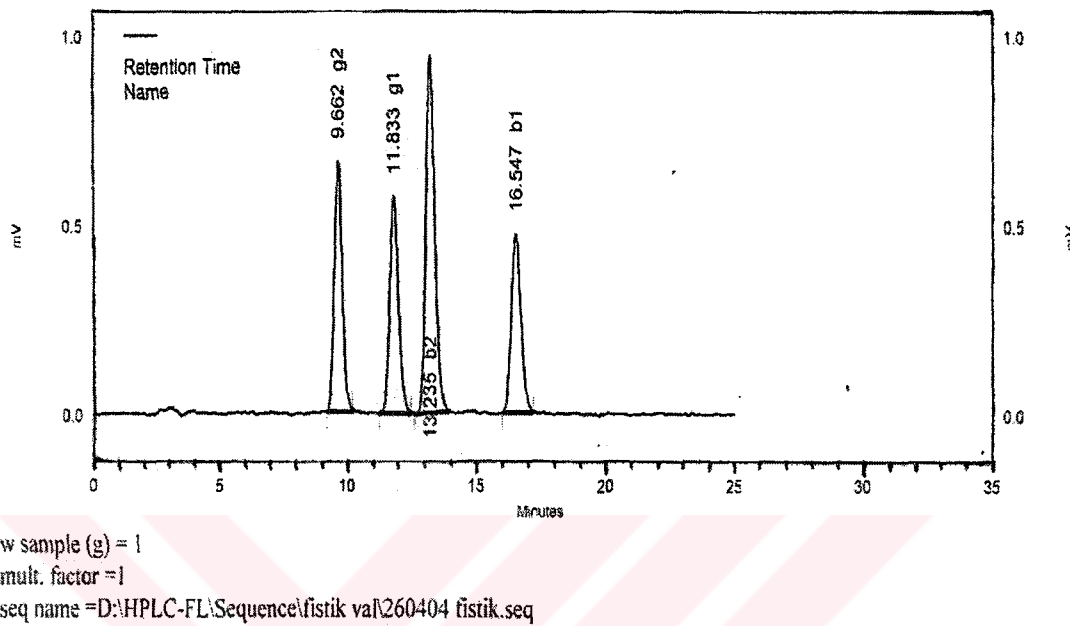
Alanlar	Konsantrasyonlar ($\mu\text{g/L}$)				
	0.36	0.72	1.2	2.4	3.6
1	31397	58685	112692	225523	334065
2	29385	58285	110223	225175	333102
3	26250	59788	112408	224786	335904
4	27688	61506	112445	225379	330754
5	27274	59799	115200	224492	333189
Ortalama	28398.8	59612.6	112593.6	225071	333402.8

Şekil 7.3 Aflatoksin B₂'ye ait doğrusallık grafiği

Çizelge 7.20 Aflatoksin B₁ piki için elde edilen alan değerleri

Alanlar	Konsantrasyonlar ($\mu\text{g/L}$)				
	0.36	0.72	1.2	2.4	3.6
1	15131	34115	63147	130862	190366
2	16783	36413	63125	127763	187855
3	16805	34015	63390	125165	188932
4	18160	35292	61910	131963	185745
5	15375	31448	64576	128173	189487
Ortalama	16450.8	34256.6	63229.6	128785.2	188477

Şekil 7.4 Aflatoksin B₁'e ait doğrusallık grafiği

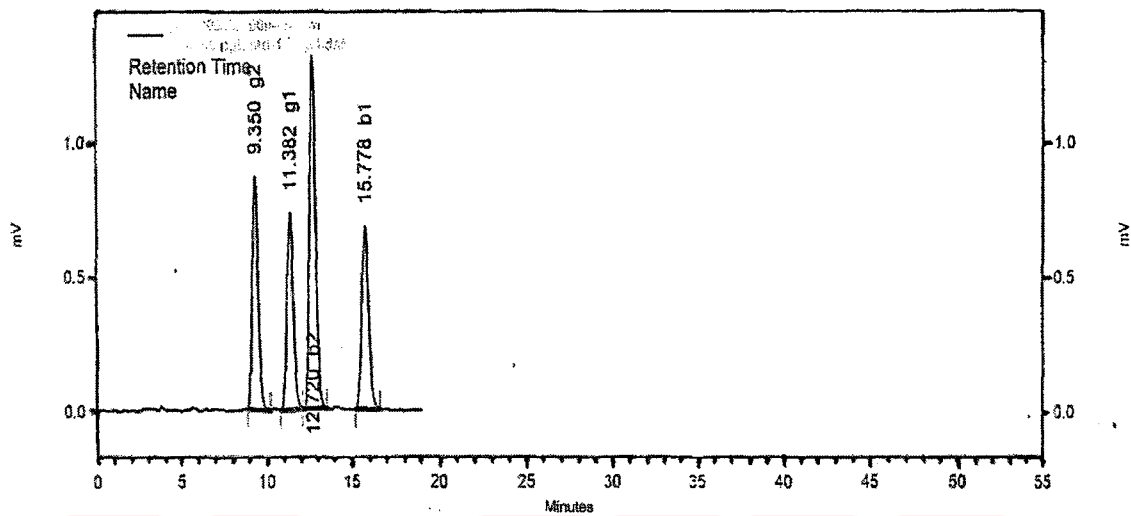


FL2000/FL3000-456n

m Results (system
(4/26/2004 10:52:50
AM) (Reprocessed))

Name	R.T. (min)	Area	Height	ESTD concentration
g2	9.662	144598	6633	2.400 CAL
g1	11.833	135355	5743	2.400 CAL
b2	13.235	224786	9416	2.400 CAL
b1	16.547	125165	4733	2.400 CAL
Totals		629904	26525	9.600 CAL

Şekil 7.5 2.4 µg/L konsantrasyonundaki örnek çözeltisine ait kromatogram



Sequence Name= D:\HPLC-FL\Sequence\fistik val280404.seq

w Sample(g)= 1

Mult.= 1

FL2000/FL3000-456n

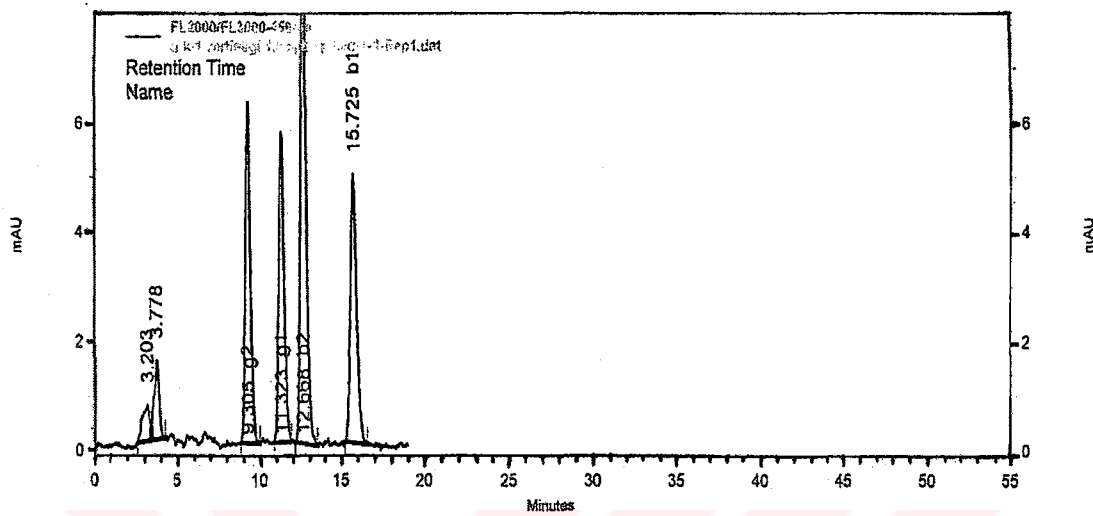
m Results (system

(5/3/2004 10:57:19

AM) (Reprocessed))

Name	R.T. (min)	Area	Height	ESTD concentration
g2	9.350	207812	8659	3.600 CAL
g1	11.382	189399	7300	3.600 CAL
b2	12.720	334175	13099	3.600 CAL
b1	15.778	191348	6794	3.600 CAL
Totals		922734	35852	14.400 CAL

Şekil 7.6 3.6 µg/L konsantrasyonundaki örnek çözeltisine ait kromatogram



Sequence Name= D:\HPLC-FL\Sequencelfistik val\280404.seq

w Sample(g)= 50.224

Mult.= 150

FL2000/FL3000-456n

m Results (system)

(5/3/2004 10:09:08

AM) (Reprocessed))

Name	R.T. (min)	Area	Height	ESTD concentration
g2	9.305	88331	4168	4.711
g1	11.323	85373	3786	4.920
b2	12.668	150097	6422	4.924
b1	15.725	84054	3274	4.912
Totals		407855	17650	19.467

Şekil 7.7 4.8 µg/L konsantrasyonundaki örnek çözeltisine ait kromatogram

7.8 Stabilite Çalışmaları

Madde 6.7.8'de belirtildiği şekilde hazırlanan $4.8 \mu\text{g/L}$ konsantrasyonundaki örnek çözeltisi ve de madde 6.4.6.2'de belirtilen şekilde hazırlanan $1.5 \mu\text{g/L}$ konsantrasyonundaki aflatoksin G₂-G₁-B₂-B₁ mix referans çalışma çözeltisi hem renksiz hem de amber renkli viallere alındı. Vialerin bir seti fluoresans lamba ile aydınlatılan laboratuar ortamında bekletildi, vialerin diğer seti ise buzdolabında bekletildi ve her iki vial setinden belirli aralıklarla enjeksiyonlar yapıldı. Belirtilen koşulların piklerin çıkış zamanını ve aflatoksin miktarlarını nasıl etkilediği incelendi.

i) Renksiz vialler içerisinde, fluoresans lamba ile aydınlatılan laboratuar ortamında bekletilen numune ve standart çözeltilerinden sekizer saat arayla enjeksiyonlar yapıldı. Elde edilen kromotogramlardaki aflatoksin G₂-G₁-B₂-B₁ piklerinin çıkış zamanları belirlendi. Elde edilen sonuçlar Çizelge 7.21'de verilmiştir.

Çizelge 7.21 Renksiz vialler içerisinde, fluoresans lamba ile aydınlatılan laboratuar ortamında yapılan stabilite çalışmasında aflatoksin (G₂-G₁-B₂-B₁) piklerinin çıkış zamanları

Aflatoksin (G ₂ -G ₁ -B ₂ -B ₁) Mix Referans Standart Çalışma Çözeltisi ($1.5 \mu\text{g/L}$)					4.8 $\mu\text{g/L}$ Aflatoksin (G ₂ -G ₁ -B ₂ -B ₁) İçerecek Şekilde Kirletilmiş Örnek				
Çıkış Zamanları (dak)					Çıkış Zamanları (dak)				
Aflatoksinler					Aflatoksinler				
Zaman (saat)	G ₂	G ₁	B ₂	B ₁	Zaman (saat)	G ₂	G ₁	B ₂	B ₁
0	9.802	12.043	13.462	16.873	0	9.810	12.049	13.465	16.875
8	9.778	11.923	13.015	16.463	8	9.761	11.801	13.002	16.363
16	9.603	11.748	12.903	16.177	16	9.653	11.691	12.845	16.007
24	9.588	11.045	13.465	15.993	24	9.568	11.037	12.489	15.893

ii) Renksiz vialler içerisinde, fluoresans lamba ile aydınlatılan laboratuar ortamında bekletilen numune ve standart çözeltilerinden sekizer saat arayla enjeksiyonlar yapıldı. Elde edilen kromotogramlardaki aflatoksin G₂-G₁-B₂-B₁'in miktarları belirlendi. Elde edilen sonuçlar Çizelge 7.22'de verilmiştir.

Çizelge 7.22 Renksiz vialler içerisinde, fluoresans lamba ile aydınlatılan laboratuar ortamında yapılan stabilite çalışması sırasında elde edilen aflatoksin ($G_2-G_1-B_2-B_1$) miktarları

Aflatoksin ($G_2-G_1-B_2-B_1$) Mix Referans Standart Çalışma Çözeltisi ($1.5 \mu\text{g/L}$)					$4.8 \mu\text{g/L}$ Aflatoksin ($G_2-G_1-B_2-B_1$) İçerecek Şekilde Kirletilmiş Örnek				
Bulunan Miktarlar ($\mu\text{g/L}$)					Bulunan Miktarlar ($\mu\text{g/L}$)				
Aflatoksinler					Aflatoksinler				
Zaman (saat)	G_2	G_1	B_2	B_1	Zaman (saat)	G_2	G_1	B_2	B_1
0	1.498	1.506	1.489	1.441	0	4.224	4.501	4.365	4.356
8	1.423	1.371	1.474	1.297	8	3.928	3.961	4.103	3.964
16	1.348	1.235	1.444	1.138	16	3.548	3.241	3.623	3.441
24	1.124	0.934	1.221	0.807	24	2.746	2.476	3.623	2.701
8. saatin sonundaki kayıp	%5	%9	%1	%10	8. saatin sonundaki kayıp	%7	%12	%6	%9
16. saatin sonundaki kayıp	%10	%18	%3	%21	16. saatin sonundaki kayıp	%16	%28	%13	%21
24. saatin sonundaki kayıp	%25	%38	%18	%44	24. saatin sonundaki kayıp	%35	%45	%17	%38

Renksiz vialler içerisinde, fluoresans lamba ile aydınlatılan laboratuar ortamında bekletilen numune ve standart çözeltilerinden yapılan enjeksiyonlar sonucunda, piklerin çıkış zamanlarının öne doğru kayma eğiliminde olduğu ve çözeltilerdeki aflatoksin miktarlarının bozunma sonucu giderek azaldığı gözlandı.

iii) Amber renkli vialler içerisinde, fluoresans lamba ile aydınlatılan laboratuar ortamında bekletilen numune ve standart çözeltilerinden sekizer saat arayla enjeksiyonlar yapıldı. Elde edilen kromotogramlardaki aflatoksin $G_2-G_1-B_2-B_1$ piklerinin çıkış zamanları belirlendi. Elde edilen sonuçlar Çizelge 7.23'te verilmiştir.

Çizelge 7.23 Amber renkli vialer içerisinde, fluoresans lamba ile aydınlatılan laboratuar ortamında yapılan stabilité çalışmasında aflatoksin (G_2 - G_1 - B_2 - B_1) piklerinin çıkış zamanları

Aflatoksin (G_2 - G_1 - B_2 - B_1) Mix Referans Standart Çalışma Çözeltisi (1.5 µg/L)					4.8 µg/L Aflatoksin (G_2 - G_1 - B_2 - B_1) İçerecek Şekilde Kirletilmiş Örnek				
Çıkış Zamanları (dak)					Çıkış Zamanları (dak)				
Aflatoksinler					Aflatoksinler				
Zaman (saat)	G_2	G_1	B_2	B_1	Zaman (saat)	G_2	G_1	B_2	B_1
0	9.780	12.038	13.450	16.873	0	9.780	12.038	13.450	16.873
8	9.697	12.033	13.470	16.863	8	9.689	12.033	13.470	16.863
16	9.670	12.052	13.465	16.877	16	9.654	12.052	13.465	16.877
24	9.772	12.017	13.458	16.893	24	9.790	12.017	13.458	16.893

iv) Amber renkli vialer içerisinde, fluoresans lamba ile aydınlatılan laboratuar ortamında bekletilen numune ve standart çözeltilerinden sekizer saat arayla enjeksiyonlar yapıldı. Elde edilen kromotogramlardaki aflatoksin G_2 - G_1 - B_2 - B_1 'in miktarları belirlendi. Elde edilen sonuçlar Çizelge 7.24'te verilmiştir.

Amber renkli vialer içerisinde, fluoresans lamba ile aydınlatılan laboratuar ortamında bekletilen numune ve standart çözeltilerinden yapılan enjeksiyonlar sonucunda, piklerin çıkış zamanlarında kayda değer bir değişim olmamıştır, ancak çözeltilerdeki aflatoksin miktarlarının bozunma sonucu giderek azaldığı gözlendi. Ancak, aflatoksin miktarlarında gözlenen azalma renksiz vialerde yapılan stabilité çalışmalarına göre daha azdır.

Çizelge 7.24 Amber renkli vialler içerisinde, fluoresans lamba ile aydınlatılan laboratuar ortamında yapılan stabilité çalışması sırasında elde edilen aflatoksin ($G_2-G_1-B_2-B_1$) miktarları

Aflatoksin ($G_2-G_1-B_2-B_1$) Mix Referans Standart Çalışma Çözeltisi (1.5 $\mu\text{g/L}$)					4.8 $\mu\text{g/L}$ Aflatoksin ($G_2-G_1-B_2-B_1$) İçerecek Şekilde Kirletilmiş Örnek				
Bulunan Miktarlar ($\mu\text{g/L}$)					Bulunan Miktarlar ($\mu\text{g/L}$)				
Aflatoksinler					Aflatoksinler				
Zaman (saat)	G_2	G_1	B_2	B_1	Zaman (saat)	G_2	G_1	B_2	B_1
0	1.499	1.501	1.510	1.422	0	4.225	4.499	4.375	4.366
8	1.454	1.441	1.508	1.323	8	4.014	4.049	4.244	4.104
16	1.394	1.351	1.450	1.266	16	3.718	3.644	3.862	3.580
24	1.304	1.231	1.253	1.052	24	2.958	2.924	3.763	3.100
8. saatin sonundaki kayıp	%3	%4	-	%7	8. saatin sonundaki kayıp	%5	%10	%3	%6
16. saatin sonundaki kayıp	%7	%10	%4	%11	16. saatin sonundaki kayıp	%12	%19	%9	%18
24. saatin sonundaki kayıp	%13	%18	%17	%26	24. saatin sonundaki kayıp	%30	%35	%14	%29

- v) Renksiz vialler içerisinde, buz dolabında bekletilen numune ve standart çözeltilerinden sekizer saat arayla enjeksiyonlar yapıldı. Elde edilen kromotogramlardaki aflatoksin $G_2-G_1-B_2-B_1$ piklerinin çıkış zamanları belirlendi. Elde edilen sonuçlar Çizelge 7.25'te verilmiştir.

Çizelge 7.25 Renksiz vialler içerisinde, buzdolabında bekletilerek gerçekleştirilen stabilité çalışmasında aflatoksin (G_2 - G_1 - B_2 - B_1) piklerinin çıkış zamanları

Aflatoksin (G_2 - G_1 - B_2 - B_1) Mix Referans Standart Çalışma Çözeltisi (1.5 µg/L)					4.8 µg/L Aflatoksin (G_2 - G_1 - B_2 - B_1) İçerecek Şekilde Kirletilmiş Örnek				
Çıkış Zamanları (dak)					Çıkış Zamanları (dak)				
Aflatoksinler					Aflatoksinler				
Zaman (saat)	G_2	G_1	B_2	B_1	Zaman (saat)	G_2	G_1	B_2	B_1
0	9.802	12.043	13.462	16.873	0	9.809	12.049	13.465	16.875
8	9.799	11.923	13.015	16.463	8	9.790	11.801	13.002	16.363
16	9.743	11.748	12.903	16.177	16	9.753	11.691	12.845	16.007
24	9.678	11.045	13.465	15.993	24	9.668	11.037	12.489	15.893

vi) Renksiz vialler içerisinde, buzdolabında bekletilen numune ve standart çözeltilerinden sekizer saat arayla enjeksiyonlar yapıldı. Elde edilen kromotogramlardaki aflatoksin G_2 - G_1 - B_2 - B_1 'in miktarları belirlendi. Elde edilen sonuçlar Çizelge 7.26'da verilmiştir.

Bu çalışma sonucunda, buzdolabında bekletilen aflatoksin çözeltilerindeki bozunmanın laboratuar ortamında bekletilen çözeltilerdeki bozunuya göre daha az olduğu gözlemlenmiştir. Piklerin çıkış zamanlarında yine öne doğru bir kayma gözlemlendi, ancak bu kayma miktarı laboratuar ortamında bekletilen çözeltilerdeki kadar fazla değildir. Esas olarak hazırlanan çözeltilerin taze olarak enjekte edilmesi tavsiye edilmektedir. Ancak, eğer çözeltiler taze olarak enjekte edilemiyorsa, çözeltilerin buzdolabı koşullarında bekletilerek enjekte edilmesi daha doğru sonuçların elde edilmesini sağlayacaktır.

Çizelge 7.26 Renksiz vialler içerisinde, buz dolabında bekletilerek gerçekleştirilen stabilité çalışması sırasında elde edilen aflatoksin ($G_2-G_1-B_2-B_1$) miktarları

Aflatoksin ($G_2-G_1-B_2-B_1$) Mix Referans Standart Çalışma Çözeltisi ($1.5 \mu\text{g/L}$)					4.8 $\mu\text{g/L}$ Aflatoksin ($G_2-G_1-B_2-B_1$) İçerecek Şekilde Kirletilmiş Örnek				
Bulunan Miktarlar ($\mu\text{g/L}$)					Bulunan Miktarlar ($\mu\text{g/L}$)				
Aflatoksinler					Aflatoksinler				
Zaman (saat)	G_2	G_1	B_2	B_1	Zaman (saat)	G_2	G_1	B_2	B_1
0	1.505	1.496	1.439	1.491	0	4.214	4.521	4.395	4.350
8	1.460	1.466	1.435	1.417	8	4.003	4.385	4.263	4.089
16	1.400	1.436	1.353	1.357	16	3.708	4.159	4.000	3.872
24	1.340	1.346	1.252	1.252	24	3.498	3.843	3.692	3.480
8. saatin sonundaki kayıp	%3	%2	-	%5	8. saatin sonundaki kayıp	%5	%3	%3	%6
16. saatin sonundaki kayıp	%7	%4	%6	%9	16. saatin sonundaki kayıp	%12	%8	%9	%11
24. saatin sonundaki kayıp	%11	%10	%13	%16	24. saatin sonundaki kayıp	%17	%15	%16	%20

vii) Amber renkli vialler içerisinde, buz dolabında bekletilen numune ve standart çözeltilerinden sekizer saat arayla enjeksiyonlar yapıldı. Elde edilen kromotogramlardaki aflatoksin $G_2-G_1-B_2-B_1$ piklerinin çıkış zamanları belirlendi. Elde edilen sonuçlar Çizelge 7.27'de verilmiştir.

Çizelge 7.27 Amber renkli vialler içerisinde, buzdolabında bekletilerek gerçekleştirilen stabilité çalışmasında aflatoksin (G_2 - G_1 - B_2 - B_1) piklerinin çıkış zamanları

Aflatoksin (G_2 - G_1 - B_2 - B_1) Mix Referans Standart Çalışma Çözeltisi (1.5 $\mu\text{g/L}$)					4.8 $\mu\text{g/L}$ Aflatoksin (G_2 - G_1 - B_2 - B_1) İçerecek Şekilde Kirletilmiş Örnek				
Çıkış Zamanları (dak)					Çıkış Zamanları (dak)				
Aflatoksinler					Aflatoksinler				
Zaman (saat)	G_2	G_1	B_2	B_1	Zaman (saat)	G_2	G_1	B_2	B_1
0	9.789	12.038	13.450	16.873	0	9.780	12.038	13.450	16.873
8	9.770	12.033	13.470	16.863	8	9.689	12.033	13.470	16.863
16	9.759	12.052	13.465	16.877	16	9.654	12.052	13.465	16.877
24	9.772	12.017	13.458	16.893	24	9.790	12.017	13.458	16.893

viii) Amber renkli vialler içerisinde, buzdolabında bekletilen numune ve standart çözeltilerinden sekizer saat arayla enjeksiyonlar yapıldı. Elde edilen kromotogramlardaki aflatoksin G_2 - G_1 - B_2 - B_1 'in miktarları belirlendi. Elde edilen sonuçlar Çizelge 7.28'de verilmiştir.

Çizelge 7.28 Amber renkli vialler içerisinde, buzdolabında bekletilerek gerçekleştirilen stabilité çalışması sırasında elde edilen aflatoksin (G_2 - G_1 - B_2 - B_1) miktarları

Aflatoksin (G_2 - G_1 - B_2 - B_1) Mix Referans Standart Çalışma Çözeltisi (1.5 µg/L)					4.8 µg/L Aflatoksin (G_2 - G_1 - B_2 - B_1) İçerecek Şekilde Kirletilmiş Örnek				
Bulunan Miktarlar (µg/L)					Bulunan Miktarlar (µg/L)				
Aflatoksinler					Aflatoksinler				
Zaman (saat)	G_2	G_1	B_2	B_1	Zaman (saat)	G_2	G_1	B_2	B_1
0	1.508	1.469	1.499	1.481	0	4.229	4.513	4.395	4.316
8	1.493	1.440	1.498	1.451	8	4.018	4.423	4.263	4.057
16	1.433	1.410	1.409	1.363	16	3.722	4.242	4.043	3.884
24	1.372	1.337	1.334	1.259	24	3.595	3.881	3.780	3.539
8. saatin sonundaki kayıp	%1	%2	-	%2	8. saatin sonundaki kayıp	%5	%2	%3	%6
16. saatin sonundaki kayıp	%5	%4	%6	%8	16. saatin sonundaki kayıp	%12	%6	%8	%10
24. saatin sonundaki kayıp	%9	%9	%11	%15	24. saatin sonundaki kayıp	%15	%14	%14	%18

Bu çalışma sonucunda, buzdolabında bekletilen aflatoksin çözeltilerindeki bozunmanın laboratuar ortamında bekletilen çözeltilerdeki bozunmaya göre daha az olduğu gözlenmiştir. Piklerin çıkış zamanlarında belirgin bir değişiklik gözlendi.

8. TARTIŞMA

Toplum ekonomisinde en önemli mübadele edilen mallardan biri olarak gıda hep önemini korumuştur. İnsan hayatının vazgeçilmez ihtiyacı olan gıda aynı zamanda insan hayatının tehdidi de olabilmektedir.

Bazı küflerin toksik metabolitleri olan mikotoksinler, insanlar ve hayvanlarda istenmeyen değişik etkilerin oluşmasına neden olabilirler. 1970'li yıllarda beri bu konuya ilgili ulusal ve uluslararası ilgi artarak devam etmektedir.

Son yıllarda yüzlerce farklı mikotoksin tipi belirlenmiştir. Ekonomik yönden aflatoksin en iyi bilinen ve önemli olduğu varsayılan toksindir. *Aspergillus flavus* ve *Aspergillus paraciticus* küf mantarları arasında en sık aflatoksin üretimine rastlanılan mantarlardır. Bu tür mantarlar yüksek nemli ve sıcak ortamlarda rahatlıkla üreyebilmektedirler. Tropikal ve subtropikal bölgelerdeki bitkiler kontaminasyona daha çok maruz kalırlar.

Aflatoksinler yerfistiği, mısır, bazı kuru yemişler (fıstık, fındık vd. yağlı tohumlar) ve incir gibi bazı meyvelerde bulunurlar. Aflatoksin ayrıca hayvan yemlerinde bulunması durumunda, bu yemleri tüketen hayvanlardan elde edilen süt ürünlerine de geçebilmektedir. İnekler aflatoksin ile kontamine olmuş yem ile beslendikleri zaman aflatoksin B₁'i aflatoksin M₁'e dönüştürmektedirler (Van Egmond, 1989).

Aflatoksinler hem insanlarda hem de hayvanlarda zehirlenmelere ve kansere yol açmaktadır (Newberne ve Butler, 1969; Shank vd., 1972; Peers ve Linsell, 1973; Eaton ve Groopman, 1994). Aflatoksin B₁, bilinen en kuvvetli doğal kanserojendir (Squire, 1981) ve toksijenik türler tarafından en çok üretilen aflatoksinidir.

Üründe küf sporlarının bulaşması ve bunu takiben aflatoksin üretiminin gerçekleşmesinden sonra, normal şartlarda ürünün yapısını bozmadan kimyasallar ile aflatoksinleri elemeye etmek mümkün değildir. Ayrıca sıcaklığı oldukça dayanıklı olan aflatoksinler pastörizasyonla da ürünlerde azaltılamamaktadır (Tosun, 1996).

Aflatoksinlerin insan sağlığı için oluşturdukları tehdit göz önüne alındığında, gıdalardaki aflatoksin miktarının doğru belirlenmesinin ne kadar önmeli olduğunu anlamak mümkündür. Bu nedenden dolayı ülkemizde de uluslararası otoriteler tarafından kabul gören analiz metodlarının kullanılması bir zorunluluk halini almıştır.

Bu çalışmada yerfistiğında HPLC ile aflatoksin tespiti için kullanılan metodun uluslararası düzeyde olduğunun ispatlanması amaçlanmıştır.

Yapılan çalışmalar sonucunda, kullanılan HPLC sisteminin yerfistığında aflatoksin analizlerine uygun olduğu, kullanılan metodun ve sistemin performansının tekrarlanabilir olduğu ve çalışılan konsantrasyon aralığında ($0.36\text{-}3.6 \mu\text{g/L}$) yapılan ölçümlerin doğrusal olduğu kanıtlandı. Ayrıca yerfistığında aflatoksin analizi için tayin ve ölçüm limitleri (LoD-LoQ) saptandı.

Yapılan stabilité çalışmaları ile de, belirli koşullarda bekletilen enjeksiyona hazır yerfistiği numunelerinde bekleme sonucunda meydana gelen değişiklikler saptandı ve bazı öneriler sunuldu. Aflatoksin analizi sırasında hazırlanan çözeltilerin taze olarak enjekte edilmesi tavsiye edilmektedir, ancak eğer çözeltiler taze olarak enjekte edilemiyorsa, çözeltilerin amber renkli vialerde, buzdolabı koşullarında bekletilerek enjekte edilmesi daha doğru sonuçların elde edilmesini sağlayacaktır.

KAYNAKLAR

- Arioglu, H.H., (1999), Yağ Bitkileri Yetiştirme ve İslahi. Ç.Ü. Ziraat Fakültesi Ders Kitabı, Genel Yayın No: 220, Adana., s.74-109.
- Barrett, J., (2000), Mycotoxins: of Molds and Maladies, Environ, Health Perspect., 108:A20-A23.
- Bennett, J.W., (1987), Mycotoxins, Mycotoxicoses, Mycotoxicology and Mycopathologia. Mycopathologia., 100: 3-5.
- Biçici, M., (2001), "Osmaniye'nin Simgesi: Yerfistiği, Hastalık ve Zararlıları", Osmaniye., s.69-72.
- Blout, W.P., (1961), Turkey "X" Disease. Turkeys., 9: 52, 55-58, 61, 77.
- Bressac, B., Kew, M., Wands, J. ve Ozturk, M., (1991), Selective G to T Mutations of p53 Gene in Hepatocellular CArcinoma from Southern Africa., Nature., 350: 429-431.
- Brown, R.L., Bhatnagar, D., Cleveland, T.E. ve Cary, J.W., (1998), Recent Advances in Preharvest Prevention of Mycotoxin Contamination., In K.K. Sinha and D. Bhatnagar, (ed.), Mycotoxins in agriculture and food safety., Marcel Dekker, Inc., New York, N.Y., p.351-379.
- Chazalet, V., Debeauvais, J.P., Sarfati, J., Lortholary, J., Ribaud, P., Shah, P., Cornet, M., Vu Thien, H., Gluckman, E., Brücker, G. ve Latgé, J.P., (1998), Molecular Typing of Environmental and Patient Isolates of *Aspergillus Fumigatus* from Various Hospital Settings, J. Clin Microbiol., 36: 1494-1500.
- Cole, R.J. ve Cox, R.H., (1981), Handbook of Toxic Fungal Metabolites, Academic Press, New York, N.Y.
- Cotty, P.J., Bayman, P., Egel, D.S. ve Elias, K.S., (1994), Agriculture, Aflatoxins and Aspergillus, In K. A. Powell, A. Renwick and J.F. Peberdy (ed.), The Genus Aspergillus., Plenum Pres, New York, N.Y., p.1-27.
- Cullen, J.M. ve Newberne, P.N., (1994), Acute Heptoxotoxicity of Aflatoxins., In D.L. Eaton and J.J. Groopman (ed.), The toxicity of Aflatoxins., Human Health, Veterinary and Agricultural Significance., Academic Press, San Diego., p. 3-26.
- Denning, D.W., (1998), Invazive Aspergillosis., Clin Infect Dis., 26: 781-805.
- Derici, B., (1997), Kuru İncirlerde Aflatoksin ve Okratoksin-A Oluşumunun Bazı Besin Maddeleri ile İlişkileri Üzerinde Araştırmalar. Ege Üniversitesi Fen Bil. Ens. Bahçe Bitkileri.
- Detroy, R.W., Lillejoh, E.B. ve Ciegler, A., (1971), Aflatoksin and Related Compounds, In A. Ciegler, S. Kadis, and S.J. Ajl (ed.), Microbial Toxins, vol. VI: Fungal Toxins., Academic Pres, New York, N.Y., p.3-178.
- Diener, U.L., Cole, R.J., Sanders, T.H., Payne, G.A., Lee, L.S. ve Klich, M.A., (1987), Epidemiology of Aflatoxin Formation by *Aspergillus Flavus*., Annu. Rev. Phytopathol., 25:249-270.
- Eaton, D.L. ve Gallagher, E.P., (1994), Mechanisms of Aflatoxin Carcinogenesis., Annu. Rev. Pharmacol. Toxicol., 34: 135-172.
- Eaton, D.L. ve Groopman J.D., (1994), The Toxicology of Aflatoxins: Human Health, Veterinary, and Agricultural Significance., In J.D. Groopman (ed.), Academic Press, San Diego, Calif.
- Eaton, D.L. ve Ramsdel, H.S., (1992), Species and Diet Related Differences in Aflatoxin Biotransformation., In D. Bhatnagar, E.B. Lillehoj and D.K. Arora (ed.), Handbook of

- Applied Mycology, Vol. 5, Mycotoxins in Ecological Systems., Marcel Dekker, Inc., New York, N.Y., p. 157-182.
- Forgacs, J., (1962), Mycotoxicoses-the Neglected Diseases, Feedstuffs., 34:124-134.
- Gül, A., Şahin, K. Ve Direk, M., (1995), Türkiye'de Yağlı Tohumlu Bitkiler Fiyat Analizi, Ç.U.Z.F. Dergisi., 10, (1): 171-186.
- Gül, A., (2001), "Osmaniye'nin Simgesi: Yerfistiği, Hastalık ve Zararlıları", Osmaniye., s.12-15.
- Graniti, A., (1972), The Evolution of the Toxic Concept in Plant Pathology, In R.K. Wood, A. Ballio and A. Graniti (ed.), Phytoxins in Plant Diseases, Academic Press, New York, N.Y., p.1-18.
- Goto, T., Wicklow, D.T. ve Ito, Y., (1996), Aflatoxin and Cyclopiazonic Acid Production by a Sclerotiumproducing Aspergillus Tamarii Strain., Appl. Environ. Microbiol., 62:4036-4038.
- Henry, S.H., Bosch, F.X. ve Bowers, J.C., (2002), Aflatoxin, Hepatitis and Worldwide Liver Cancer Risk., In J.W. DeVries, M.W. Trucksess, and L.S. Jackson (ed.), Mycotoxins and Food Safety., Kluwer Academic/Plenum Publications., New York, N.Y., p. 229-320.
- Henry, S.H., Bosch, F.X., Troxell, T.C. ve Bolger, P.M., (1999), Reducing Liver Cancer- Global Control of Aflatoxin., Science., 286: 2453-2454.
- Horn, B.W. ve Grene, R.L., (1995), Vegetative Compatibility Within Populations of *Aspergillus flavus*, *A. parasiticus* and *A. tamarii* from a Peanut Field., Mycologia., 87: 324-332.
- Hospenthal, D.R., Kwon-Chung, K.J. ve Bennett, J.E., (1998), Concentrations of Airbone *Aspergillus* Compared to the Incidence of Invazive Aspergillosis: Lack of Correlation., Med Mycol., 36: 165-168.
- Hsieh, D., (1988), Potential Human Health Hazards of Mycotoxins, In S. Natori, K. Hashimoto, and Y. Ueno (ed.), Mycotoxins and Phytoxins., Third Joint Food and Agriculture Organization/W.H.O./United Nations E? Program International Conference of Mycotoxins., Elsevier, Amsterdam, The Netherlands., p. 69-80.
- Hsu, I.C., Metcalf, R.A., Sun, T., Welsh, J.A., Wang, N.J. ve Haris, C.C., (1991), Mutational Hotspot in the p53 Gene in Human Hepatocellular Carcinomas., Nature., 350: 377-378.
- James, R.C., (1985), General Principles of Toxicology, In P.L. Williams and J.L. Burson (ed.), Industrial Toxicology, Van Nostrand Reinhold, New York, N.Y. p.7-26.
- Klich, M.A., (1987), Relation of Plant Water Potential at Flowering to Subsequent Cottonseed Infection by Aspergillus Flavus., Phytopathology 77:739-741.
- Klich, M.A. ve Pitt, J.I., (1988), Differentiation of Aspergillus Flavus from Aspergillus Paraciticus and other Closely Related Species., Trans. Br. Mycol. Soc., 91:99-108.
- Klich, M.A., Mullaney, E.J., Daly, C.B. ve Cary J.W., (2000), Molecular and Physiological Aspects of Aflatoxin and sterigmatoxystin Biosynthesis by *A. tamarii* and *A. ochraceoroseus*., Appl. Microbiol. Biotechnol., 53:605-609.
- Klich, M.A., Yu, J., Chang, P.-K., Mullaney, E.J., Bhatnagar, D. Ve Cleveland, T.E., (1995), Hybridization of Genes Involved in Aflatoxin Biosynthesis to DNA of Aflatoxigenic and Non-aflatoxigenic Aspergilli., Appl. Microbiol., Biotechnol., 44: 439-443.
- Krishnamachari, K.A.V.R., Bhat, R.V., Nagarajan, V. Ve Tilnak, T.M.G., (1975), Hepatitis Due to Aflatoxicosis., An Outbreak in Western India., Lancet i: 1061-1063.

- Kwon Chung, K.J. ve Bennett, J.E., (1992), Medical Mycology., Lea and Fabinger., Philadelphia.
- Latgé, J.P., (1999), *Aspergillus fumigatus* and Aspergillosis., Clin Microbiol Rev., 2: 310-350.
- Li, F.-Q., Yoshizawa,T., Kawamura, S., Luo, S.-Y. Ve Li, Y.-W., (2001), Aflatoxins and Fumonisins in Corn from the High-incidence Area for Human Hepatocellular Carcinoma in Guangxi, China, J. Agric., Food Chem., 49:4122-4126.
- Lisker, N. Ve Lillehoj, E.B., (1991), Prevention of Mycotoxin Contamination (Principally Aflatoxin and Fusarium Toxins) at the Preharvest Stage, In J.E: Smith and R.S. Henderson (ed.), Mycotoxins and Animals Foods., CRC Pres, Boca Raton, Fla., p.689-719.
- Lopez-Diaz, T.M. ve Flannigan, B., (1997), Production of Patulin and Cytochalasin E by *Aspergillus Clavatus* During Malting of Barley and Wheat, Int J. Food Microbiol., 2: 129-136.
- Maggon, K.K., Gupta, S.K. ve Venkatasubramanian, T.A., (1977), Biosynthesis of Aflatoxins. Bacteriol, Rev., 41: 822-855.
- Newberne, P.M. ve Butler, W.H., (1969), Acute and Chronic Effect of Aflatoxin B₁ on the Liver of Domestic and Laboratory Animals: a review., Cancer Res., 29:236-250.
- Öğütçü, Z., (1969), Yerfisiği ve Ziraatı. Türkiye Ticaret Odaları Sanayi Odaları ve Ticaret Borsaları Birliği, Ankara.
- Peers, F.G. ve Linsell, C.A., (1973), Dietary Aflatoxins and Human Liver Cancer-a Population Study Based in Kenya., Br.J. Cancer., 27:473-484.
- Peterson, S.W., Ito, Y., Horn, B.W. ve Goto, T., (2001), *Aspergillus Bombycis*, a new Aflatoxigenic Species and Genetic Variation in its Sibling Species, *A. nomius*., Mycologia., 93:689-703.
- Pitt, J.I., (1993), Corrections to Species Names in Physiological Studies on *Aspergillus flavus* and *Aspergillus parasiticus*., J. Food Prot., 56: 265-269.
- Pitt, J.I., (2000), Toxigenic Fungi: Which are Important? Med. Mycol., 38 (Suppl.1): 17-22.
- Putnam, D.H., Oplinger, E.S., Teynor, T.M., Oelke, E.A., Kelling, K.A. ve Doll, T.D., (1991), Peanut University of Wisconsin Extension-Cooperative Extension Center for Alternative Plant and Animal Plant and Animal Products, University of Minnesota, St. Paul, MN 55108.
- Raper, K.B. ve Fennell, D.I., (1965), *Aspergillus*., The Williams and Wilkins Company., Baltimore.
- Richardson, M.D. ve Warnock, D.W., (1997), Aspergillosis., In: Fungal Infection, Diagnosis and Management., 2nd ed., Blackwell Science., London., 113-130.
- Ross, R.K., Yuan, J.M., Yu, M.C., Wogan, G.N., Qian, G.S., Tu, J.T., Groopman, J., Gao, Y.T. ve Henderson, B.E., (1992), Urinary Aflatoxin Biomarkers and Risk of Hepatocellular Carcinoma., Lancet., 339: 1413-1414.
- Samson, R.A., Hoekstra, E.S., Frisvad, J.C. ve Filtenborg, O., (1995), Introduction to Food-borne Fungi., 4th ed., Baarn: Centraalbureau voor Schimmelcultures.
- Samson, R.A. ve Pitt, J.I., (1990), Modern Concepts in *Penicillium* and *Aspergillus* Classification. Plenum Pres, New York.
- Shank, R.C., Bhamaraprabhati, N., Gordon, J.E. ve Wogan, G.N., (1972), Dietary Aflatoxins and Human Liver Cancer., IV., Incidence of Primary Liver Cancer in Two Municipal Populations in Thailand., Food Cosmet., Toxicol., 10:171-179.

- Smith, J.E. ve Moss, M.O., (1985), Mycotoxins, Formation, Analyses and Significance., John Wiley and Sons, Chichester, United Kingdom.
- Squire, R.A., (1981), Ranking Animal Cancinogens: a Proposed Regulatory Approach., Science., 214:877-880.
- Takahashi, T., Chang, P.-K., Matsushima, K., Yu, J., Abe, K., Bhatnagar, D., Cleveland, T.E. ve Koyama, Y., (2002), Nonfunctionality of *Aspergillus sojae* afIR in a Strain of *Aspergillus parasiticus* with a Disrupted afIR Gene., Appl. Environ. Microbiol., 68: 3737-3743.
- Tosun, N., (1996), İncir Meyvelerinde *Aspergillus Flavus* Grubu Fungusların Kimyasal Yöntemlerle Önlenmesi Yoluyla Aflatoksinlerin Azaltılma Olanakları Üzerinde Araştırmalar. Ege Üniversitesi Fen Bil. Ens. Ziraat A.B.D. Yüksek Lisans Tezi.
- Türk Gıda Kodeksi, Gıda Maddelerinde Belirli Bulaşınların Maksimum Seviyelerinin Belirlenmesi Hakkında Tebliğ.
- Unat, E.K. ve Yücel, A., Tıp Mikolojisi. Unat, E., Yücel, A. ve Atlaş, K., (1995), Unat'ın Tıp Paratolojisi'nde. İnsanın Ökaryonlu Parazitleri ve Bunlarla Bulaşan Hastalıkları'nda. Beşinci baskı, Cerrahpaşa Tıp Fak. Vakfi Yayınları: Samastı M (ed), İstanbul., 15: 831-39.
- Vaamonde, G., Degrossi, C., Comerio, R. ve Fernández Pinto, V., (1995), *Aspergillus flavus* y *Aspergillus parasiticus* en maní Cultivado en la Provincia de Córdoba (Argentina): Características Diferenciales y Capacidad Aflatoxicogénica., Bol. Soc. Arg. Bot., 30: 191-198.
- Van Egmond, H.P., (1989), Aflatoxin M₁: Occurrence, Toxicity, Regulation., In H.P. Van Egmond (ed.), Mycotoxins in Dairy Products., Elsevier Applied Science, London.
- Van Rensburg , S.J., Cook-Mazaffari, P., Van Schalkwyk, D.J., van der Watt, J.J., Vincent, T.J. ve Purchase, I.F., (1985), Hepatocellular Carcinoma and Dietary Aflatoxin in Mozambique and Transkei., Br. J. Cancer., 51: 713-720.
- Verschraegen, C.F., van Besien, K.W., Dignani, C., Hester, J.P., Andersson, B.S. ve Anaissie, E., (1997), Invazive *Aspergillus* Sinusitis During Bone Marrow Transplantation., Scand J Infect Dis., 4: 436-438.
- Vesonder, R., Haliburton, J., Stubblefield, R., Gilmore, W. ve Peterson, S., (1991), Aspergillus Flavus and Aflatoxins B1, B2 and M1 in Corn Associated with Equine Death. Arch Environ Contam Toxicol., 1: 151-153.
- Watson, A.J., Fuller, L.J., Jeens, D.J. ve Archer, D.B., (1999), Homologues of Aflatoxin Biosynthesis Genes and Sequence of afIR in *Aspergillus oryzae* and *Aspergillus sojae*., Appl. Environ. Microbiol., 65: 307-310.
- Wei, D.L. ve Jong, S.C., (1986), Production of Aflatoxins by Strains of the *Aspergillus Flavus* Group Maintained in ATCC., Mycopathologia., 93: 19-24.
- Willis, R.M., Mulvihill, J.J. ve Hoofnagle, J.H., (1980), Attempted Suicide with Purified Aflatoxin., Lancet, i: 1198-1199.
- Wilson, D.M. ve Payne G.A., (1994), Factors Affecting *Aspergillus Flavus* Group Infection and Aflatoxin Contamination of Crops., In D.L. Eaton and J.D. Groopman (ed.), The Toxicology of Aflatoxins, Human Health, Veterinary and Agricultural Significance., Academic Pres, San Diego, Calif., p.309-325.
- Woodnoof, J.C., (1973), Peanuts: Production, Processing, Product, The AVI Pub.Co. Westport. Conn.USA.

İNTERNET KAYNAKLARI

- [1] <http://schimmel-schimmelpilze.de>
- [2] [http:// coenviro.com](http://coenviro.com)
- [3]<http://sabah.com.tr>



ÖZGEÇMİŞ

Doğum tarihi: 31.01.978

Doğum yeri: İstanbul

Lise: 1994-1998 Özel Sankt Georg Avusturya Lisesi ve Ticaret Okulu

Lisans: 1999-2003 Yıldız Teknik Üniversitesi Fen-Edebiyat Fak.
Kimya Bölümü

Yüksek Lisans: 2003-2005 Yıldız Teknik Üniversitesi Fen Bilimleri Enstitüsü
Kimya Anabilim Dalı, Biyokimya Programı

Çalıştığı Kurum(lar)

2003-2004 Çevre Endüstriyel Anliz Laboratuarları

2004- ... Abdi İbrahim İlaç Sanayi